

РАВНОВЕСИЕ МЕЖДУ ЖИДКОСТЬЮ И ПАРОМ В СИСТЕМЕ  
АЦЕТОН- БЕНЗОЛ (P=760 мм рт ст)

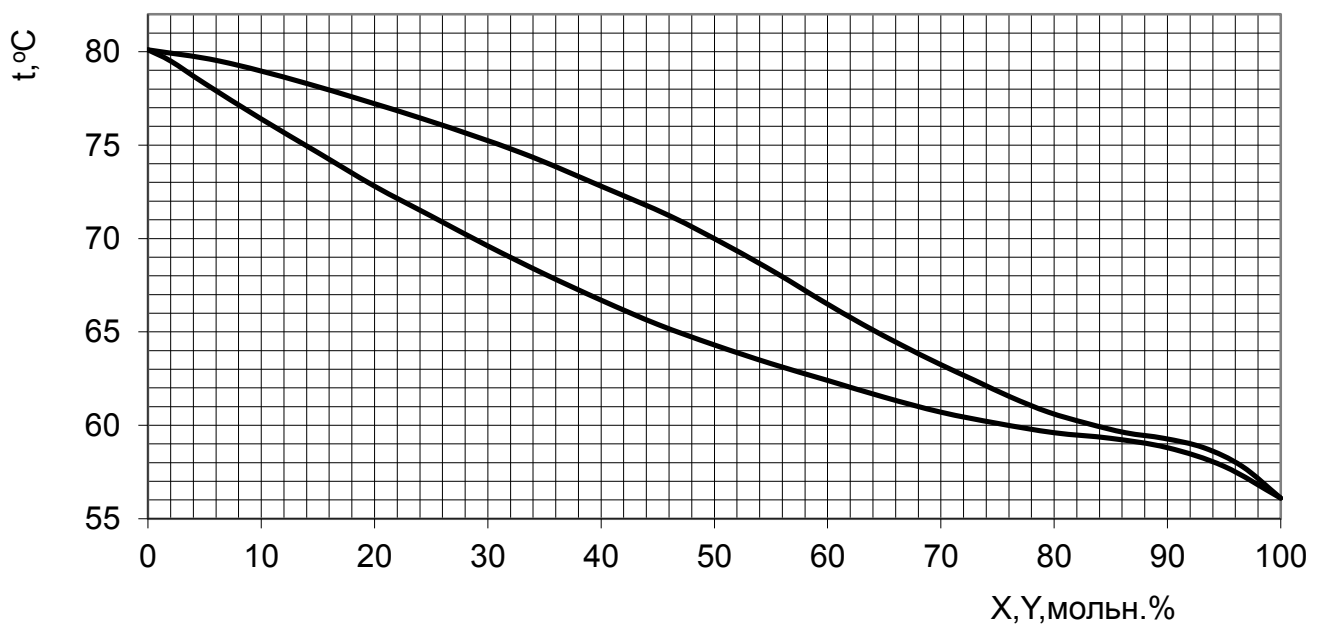
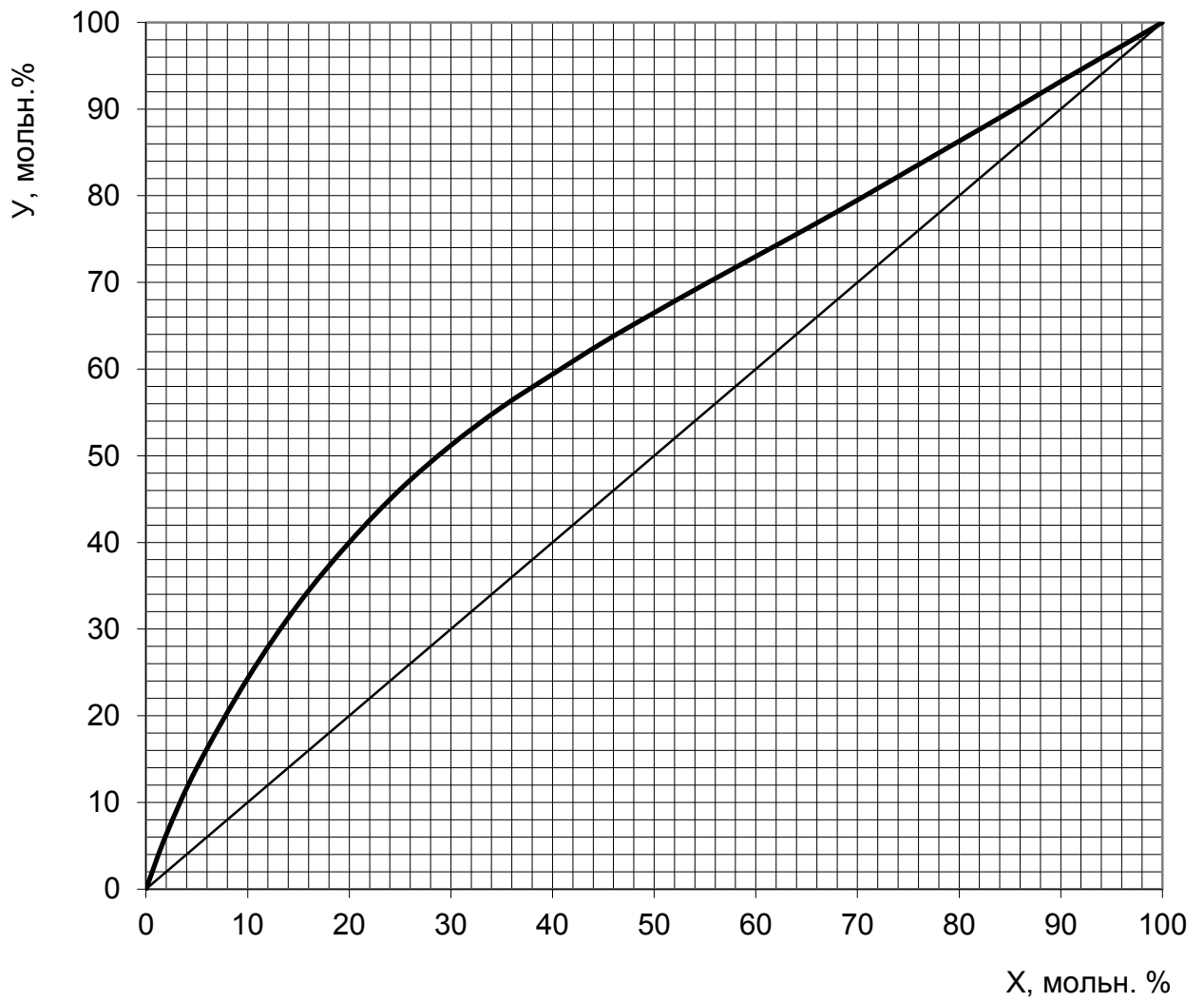


рис.

РАВНОВЕСИЕ МЕЖДУ ЖИДКОСТЬЮ И ПАРОМ В СИСТЕМЕ  
МЕТАНОЛ - ЭТАНОЛ (P=760 мм рт ст)

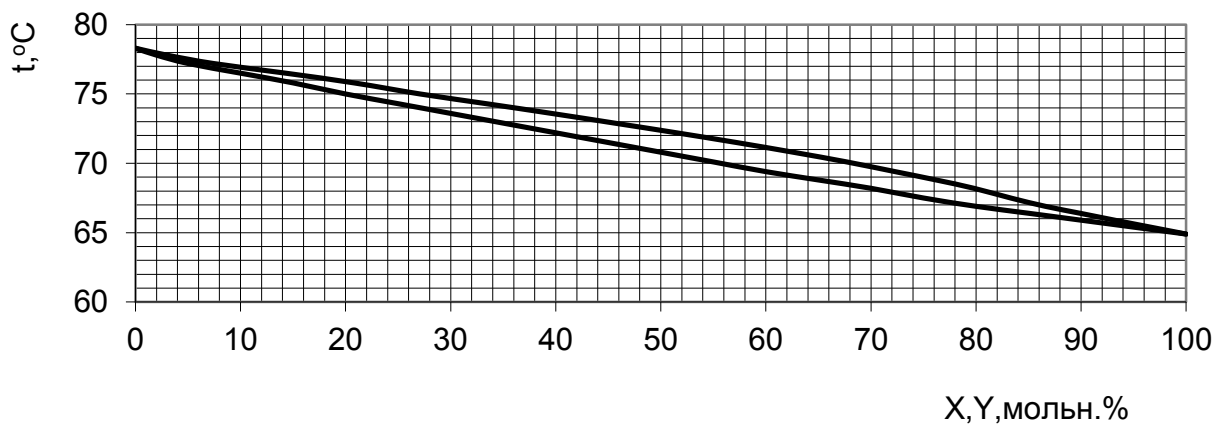
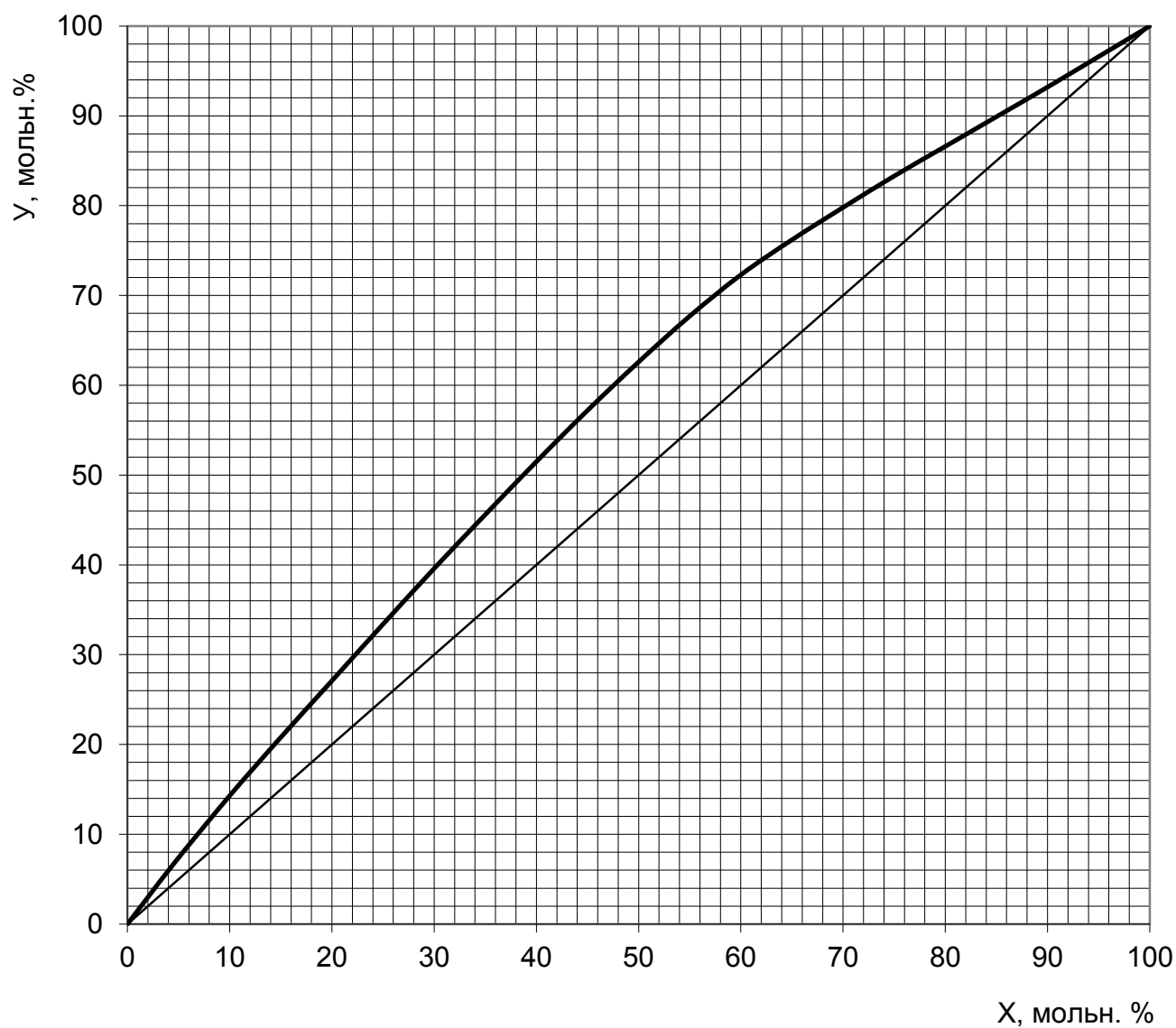


рис.

РАВНОВЕСИЕ МЕЖДУ ЖИДКОСТЬЮ И ПАРОМ В СИСТЕМЕ  
БЕНЗОЛ- ТОЛУОЛ (P=760 мм рт ст)

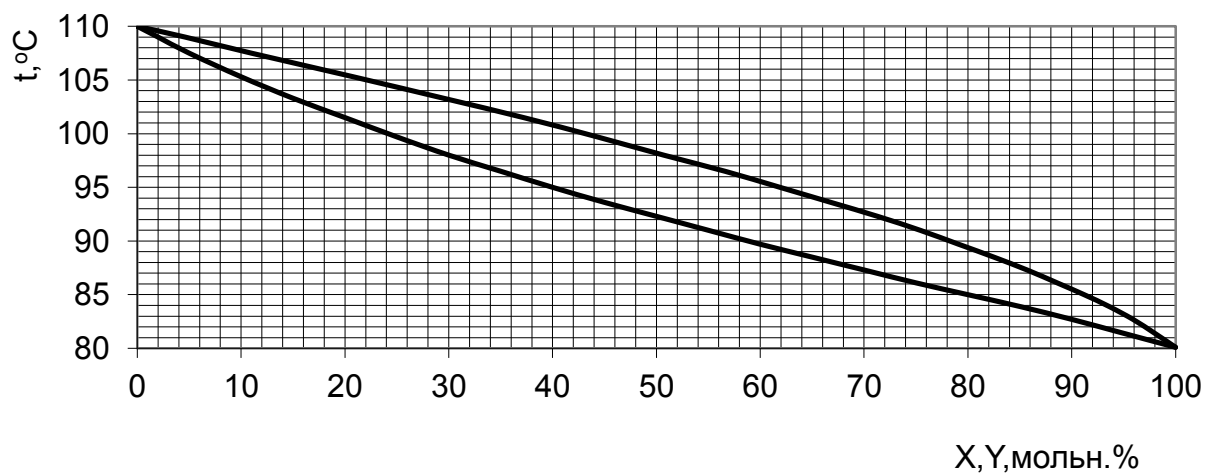
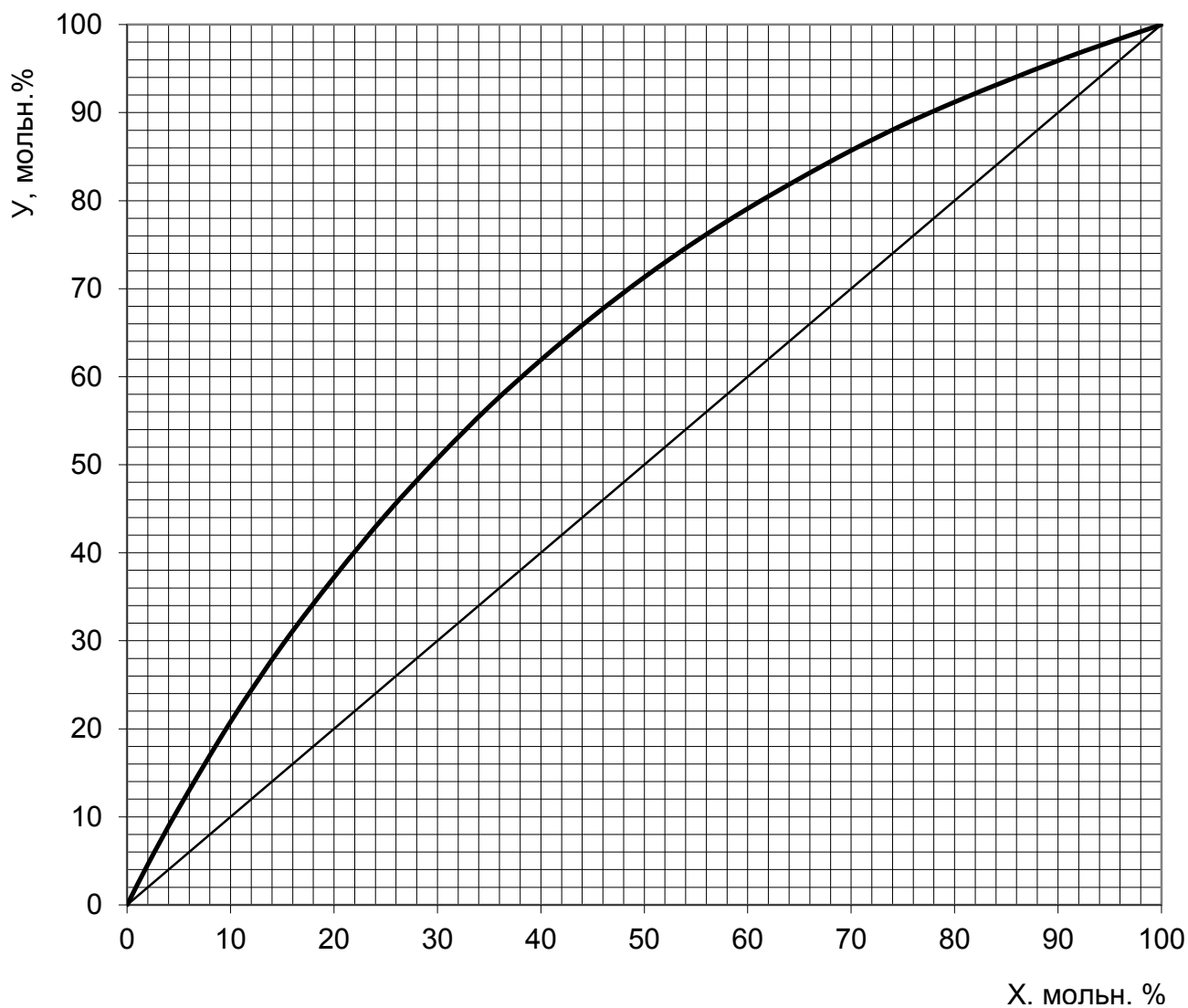


рис.

РАВНОВЕСИЕ МЕЖДУ ЖИДКОСТЬЮ И ПАРОМ В СИСТЕМЕ  
МЕТИЛОВЫЙ СПИРТ - ВОДА (P=760 мм рт ст)

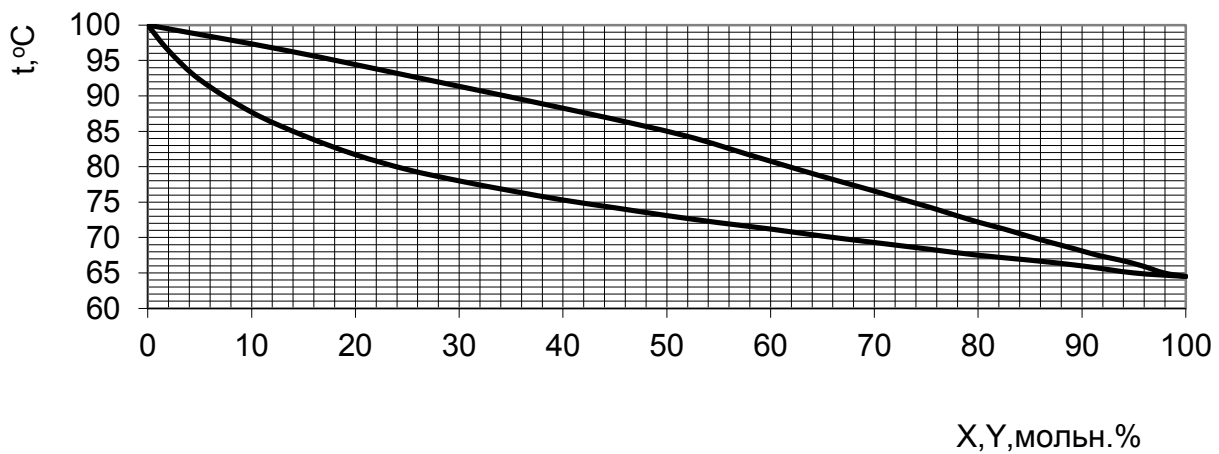
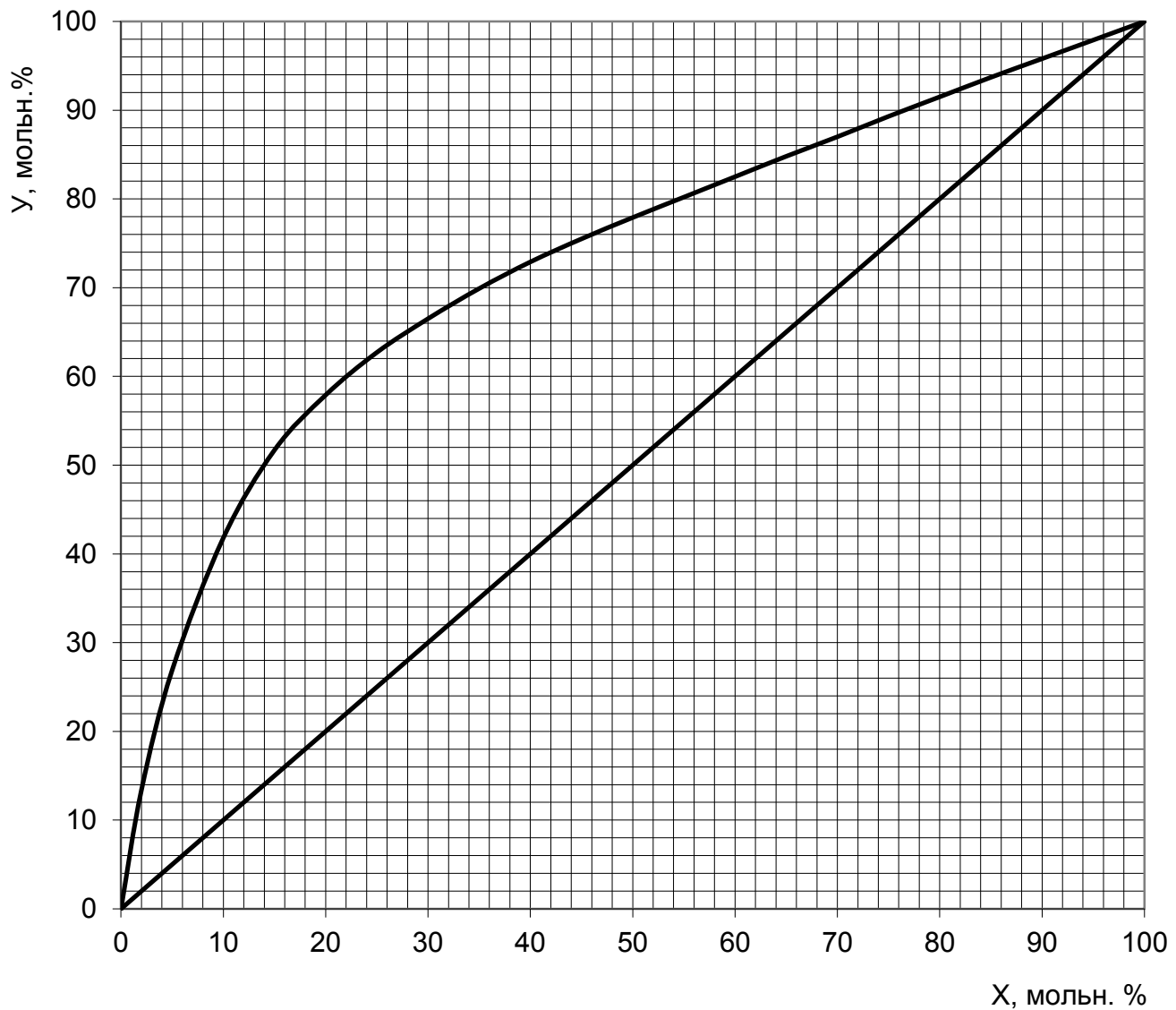


рис.

РАВНОВЕСИЕ МЕЖДУ ЖИДКОСТЬЮ И ПАРОМ В СИСТЕМЕ  
ИЗОПРОПИЛОВЫЙ СПИРТ - ТОЛУОЛ (P=760 мм рт ст)

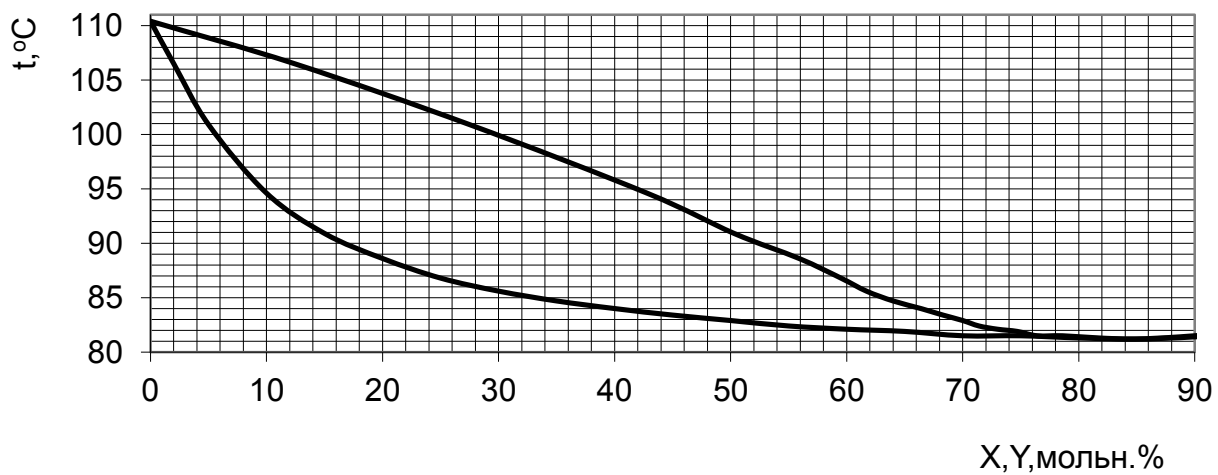
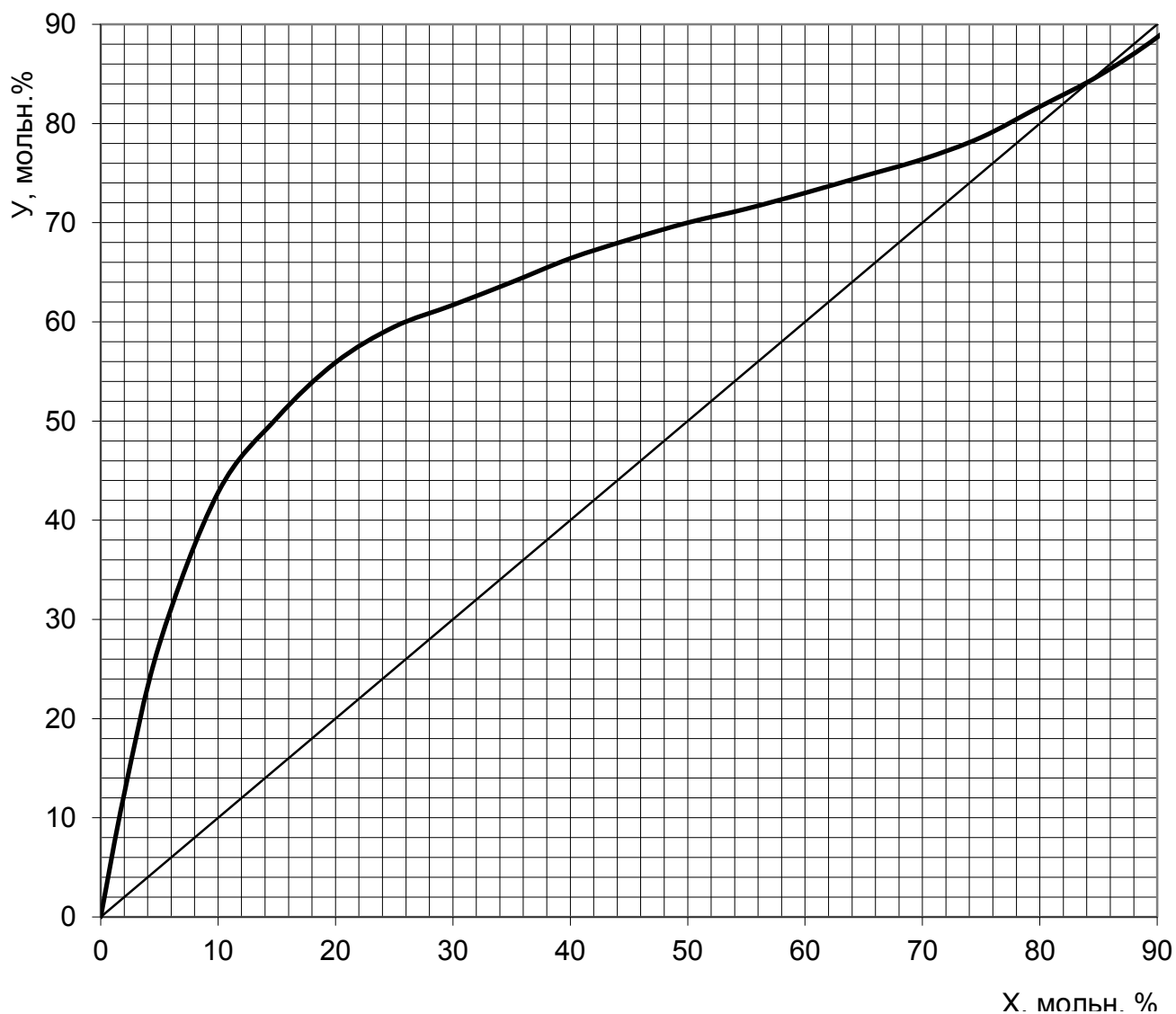


рис.

РАВНОВЕСИЕ МЕЖДУ ЖИДКОСТЬЮ И ПАРОМ В СИСТЕМЕ  
ВОДА - УКСУСНАЯ КИСЛОТА (P=760 мм рт ст)

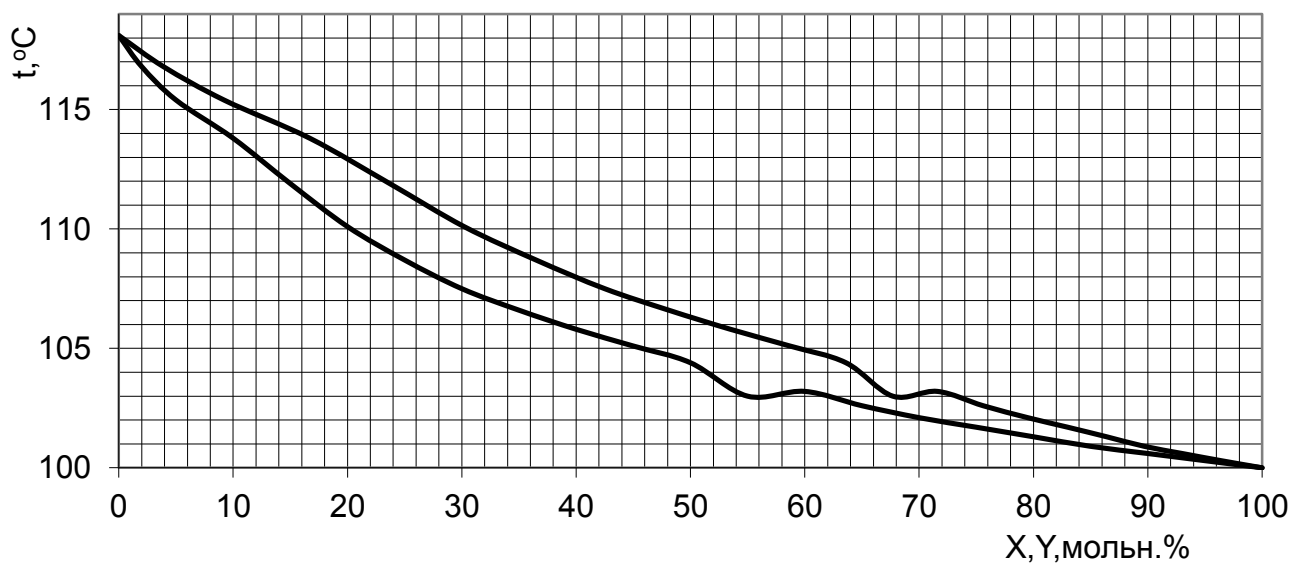
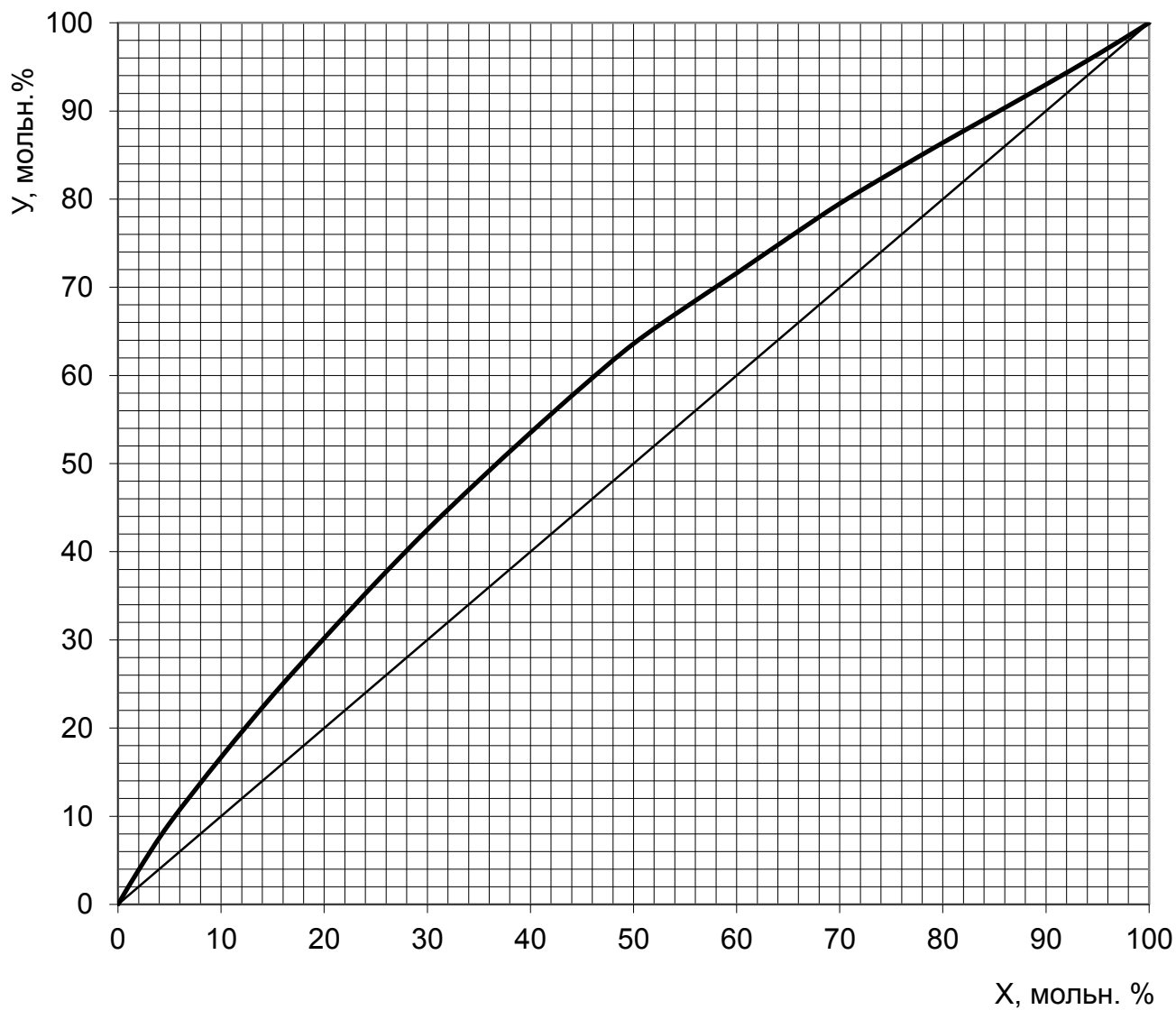


рис.



РАВНОВЕСИЕ МЕЖДУ ЖИДКОСТЬЮ И ПАРОМ В СИСТЕМЕ  
БЕНЗОЛ - УКСУСНАЯ КИСЛОТА (P=760 мм рт ст)

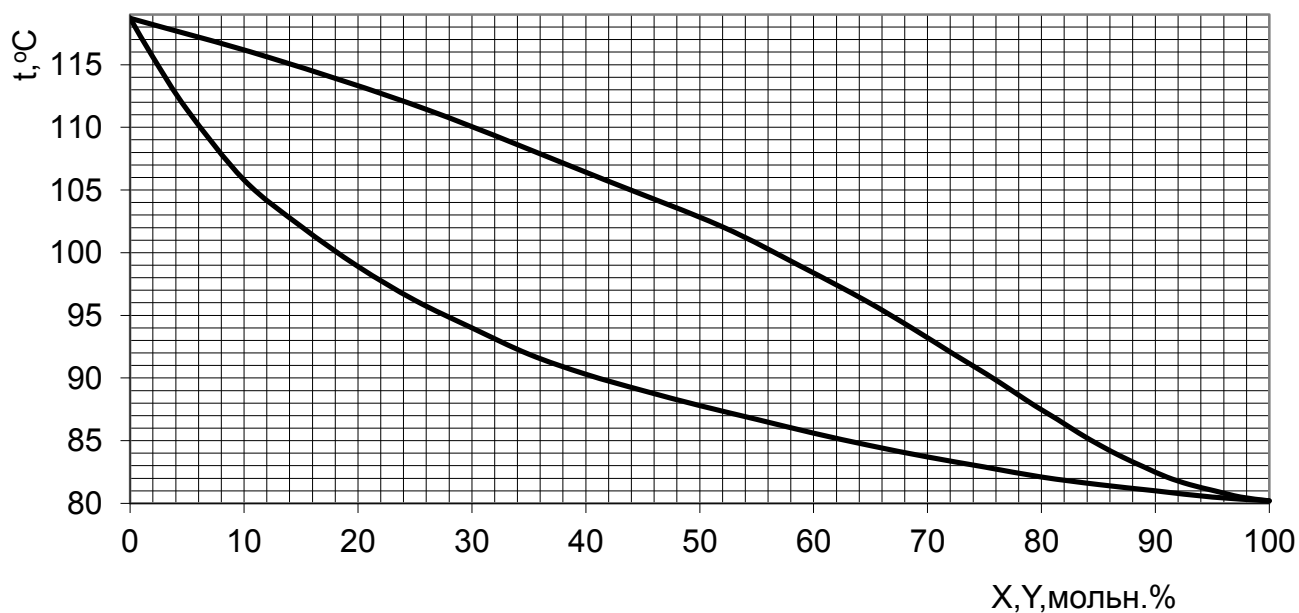
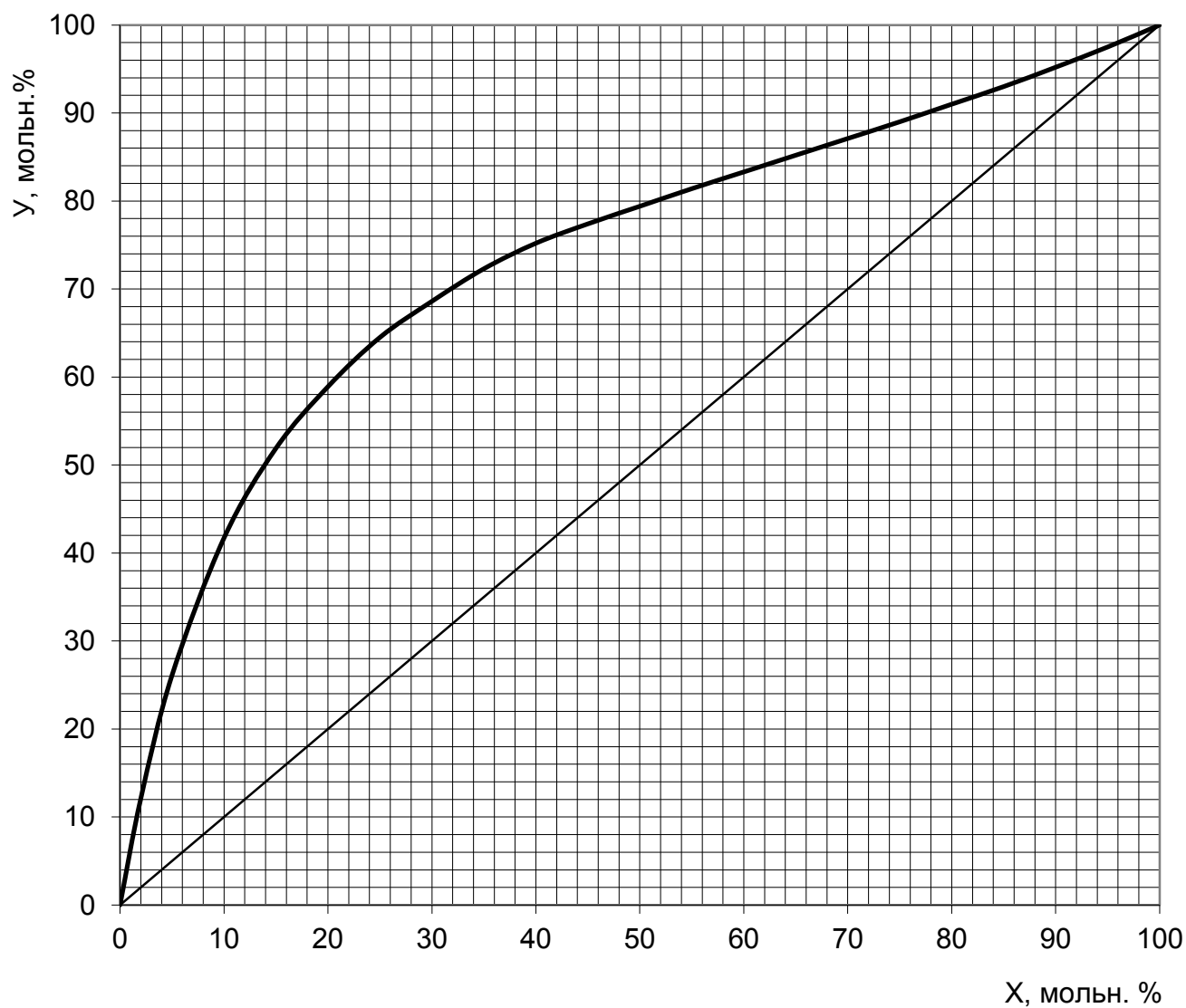


рис.



РАВНОВЕСИЕ МЕЖДУ ЖИДКОСТЬЮ И ПАРОМ В СИСТЕМЕ  
ЭТИЛОВЫЙ СПИРТ-БЕНЗОЛ (P=760 мм рт ст)

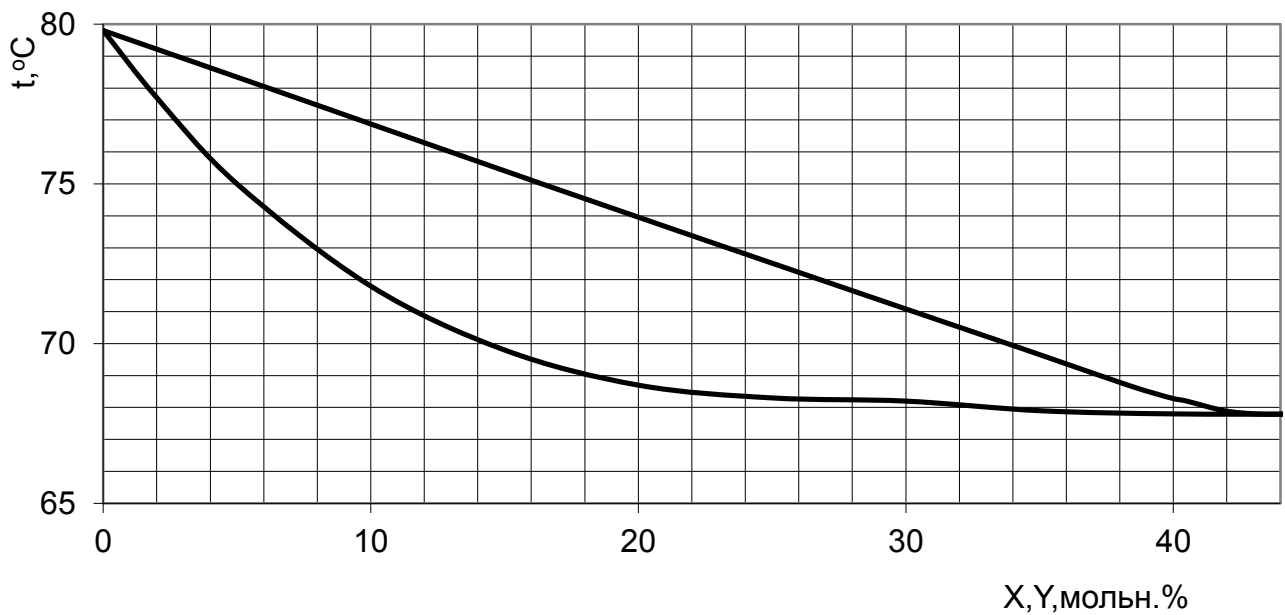
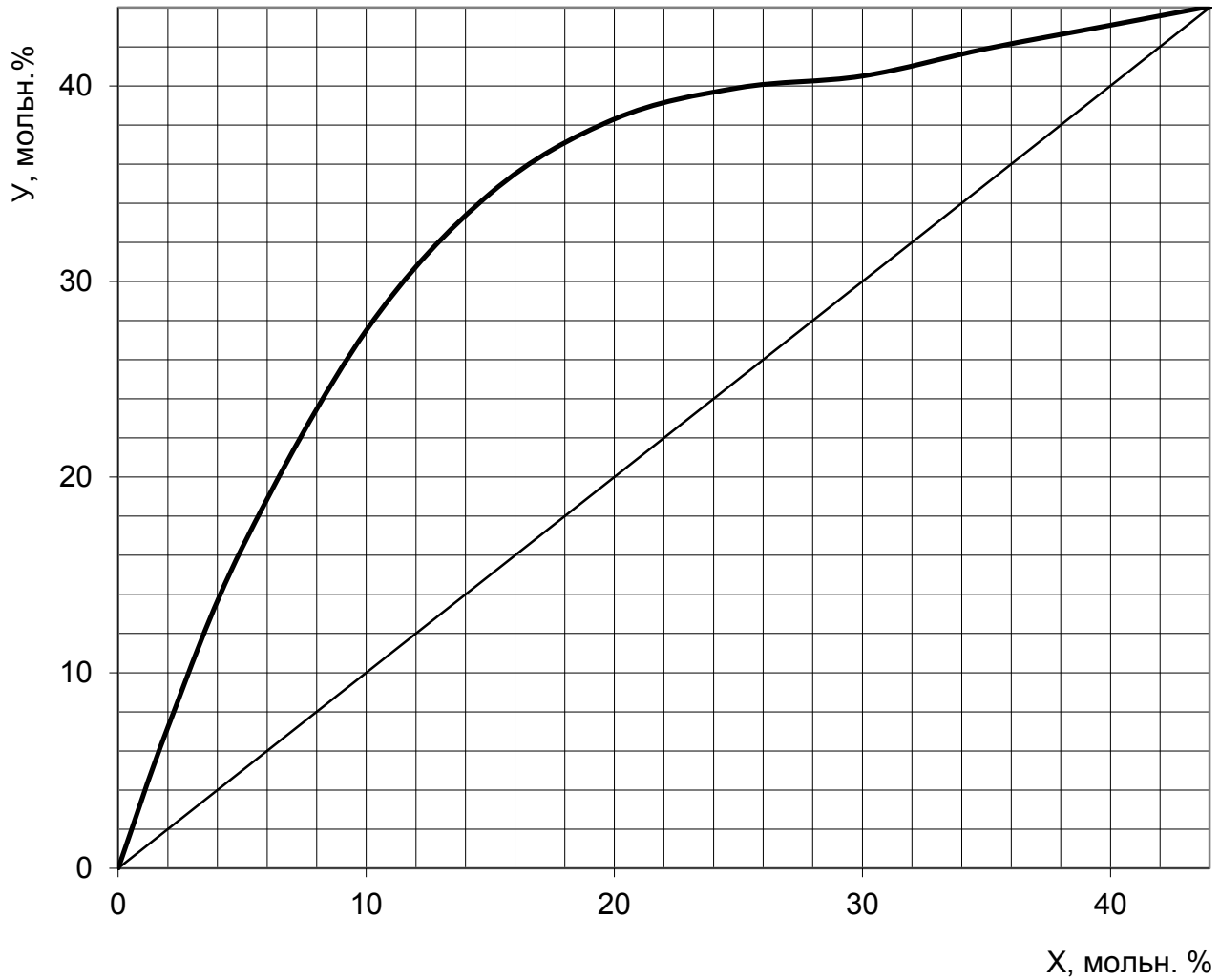


рис.

РАВНОВЕСИЕ МЕЖДУ ЖИДКОСТЬЮ И ПАРОМ В СИСТЕМЕ  
АЦЕТОН- ЭТИЛОВЫЙ СПИРТ (P=760 мм рт ст)

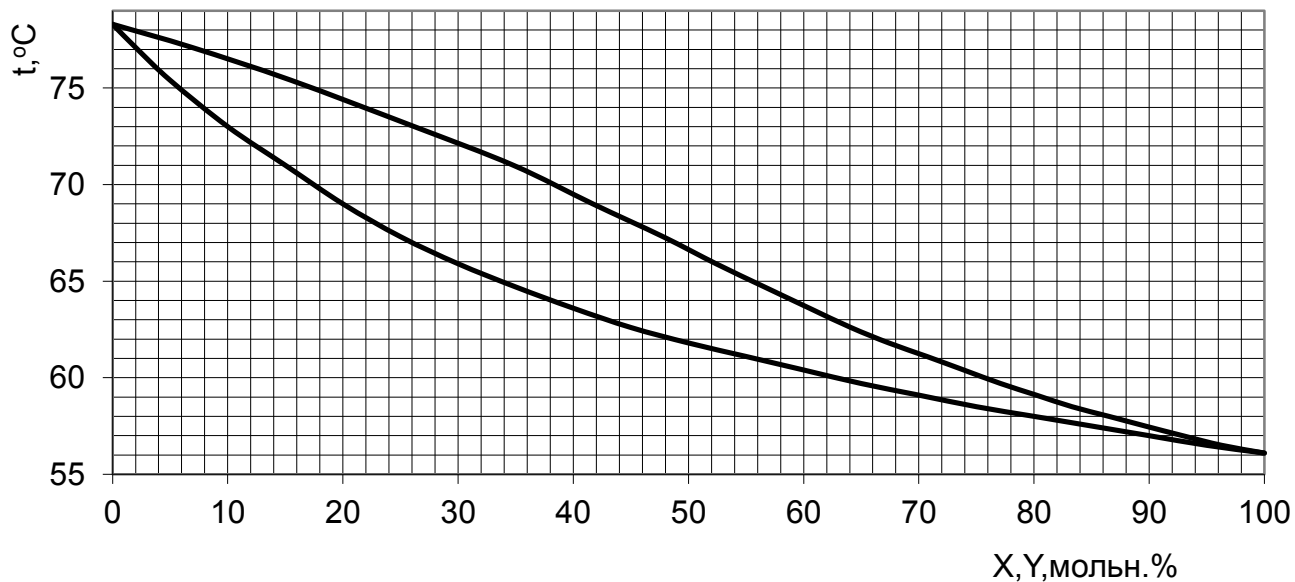
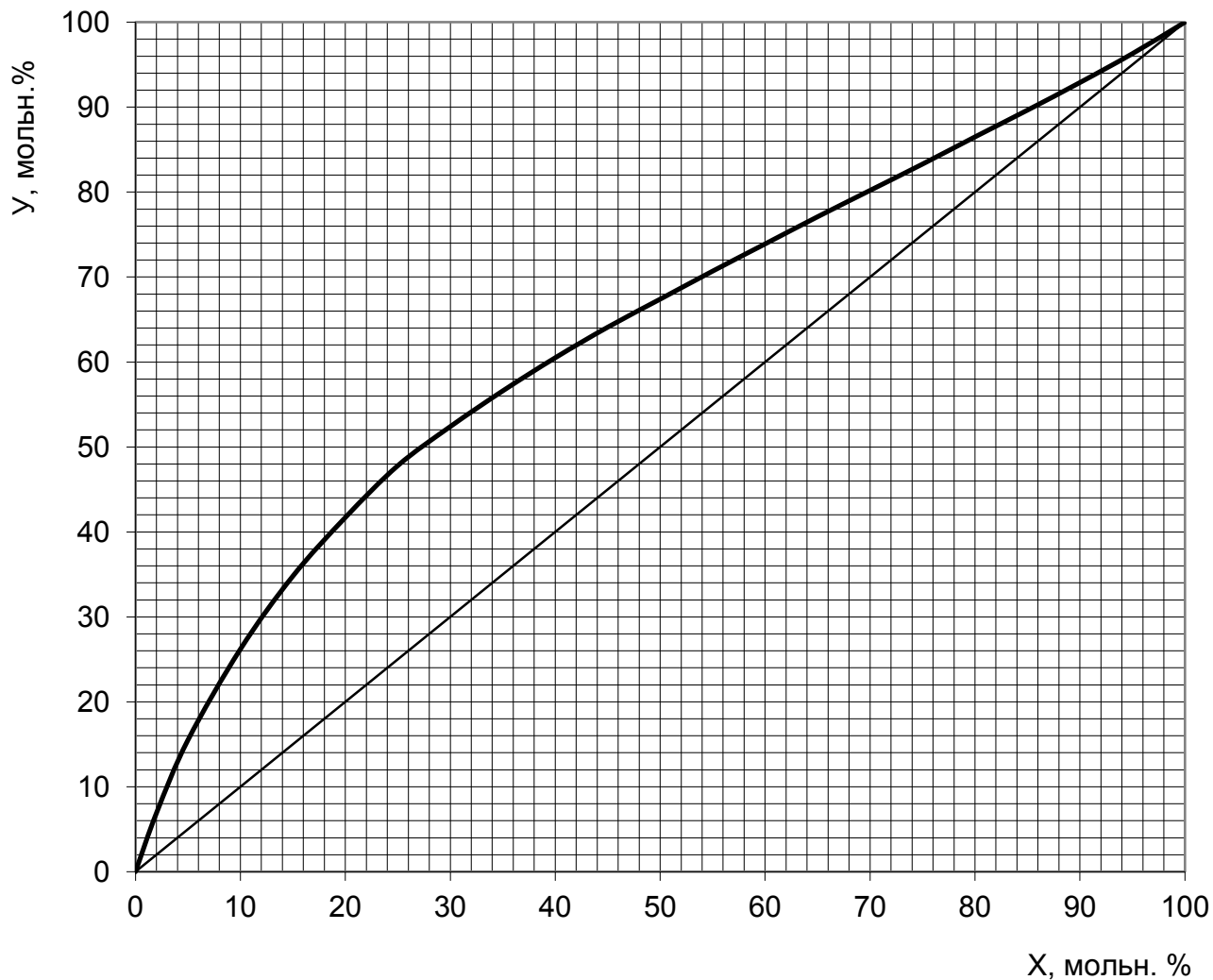


рис.

**РАВНОВЕСИЕ МЕЖДУ ЖИДКОСТЬЮ И ПАРОМ В СИСТЕМЕ  
АЦЕТОН- ЧЕТЫРЕХХЛОРИСТЫЙ УГЛЕРОД (P=760 мм рт ст)**

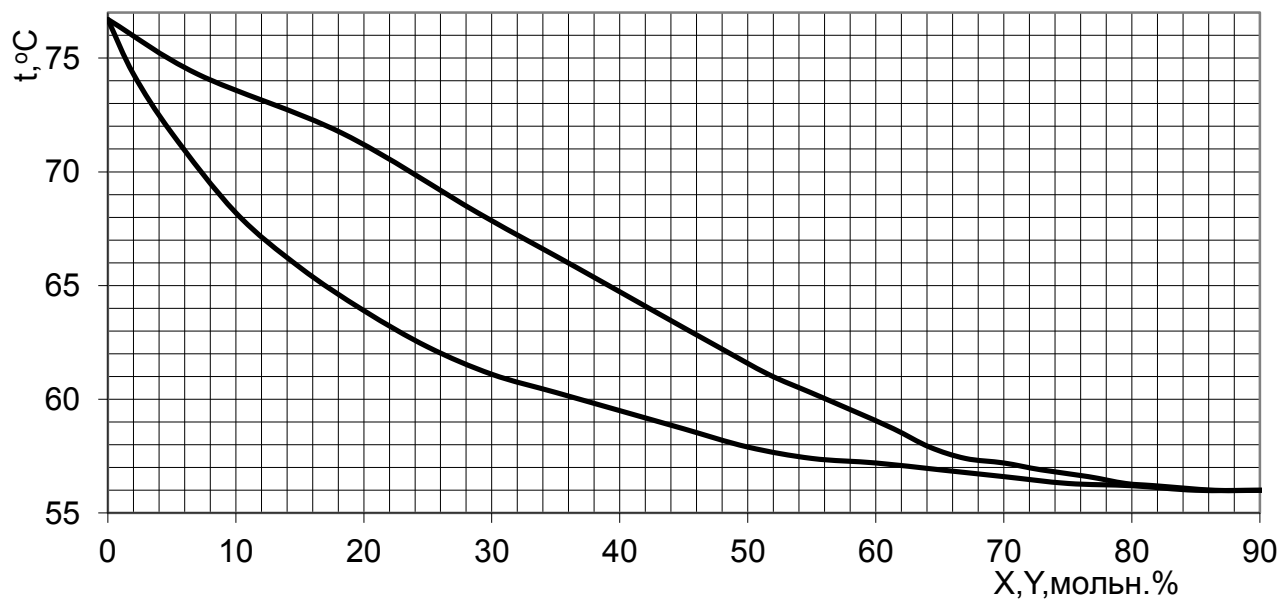
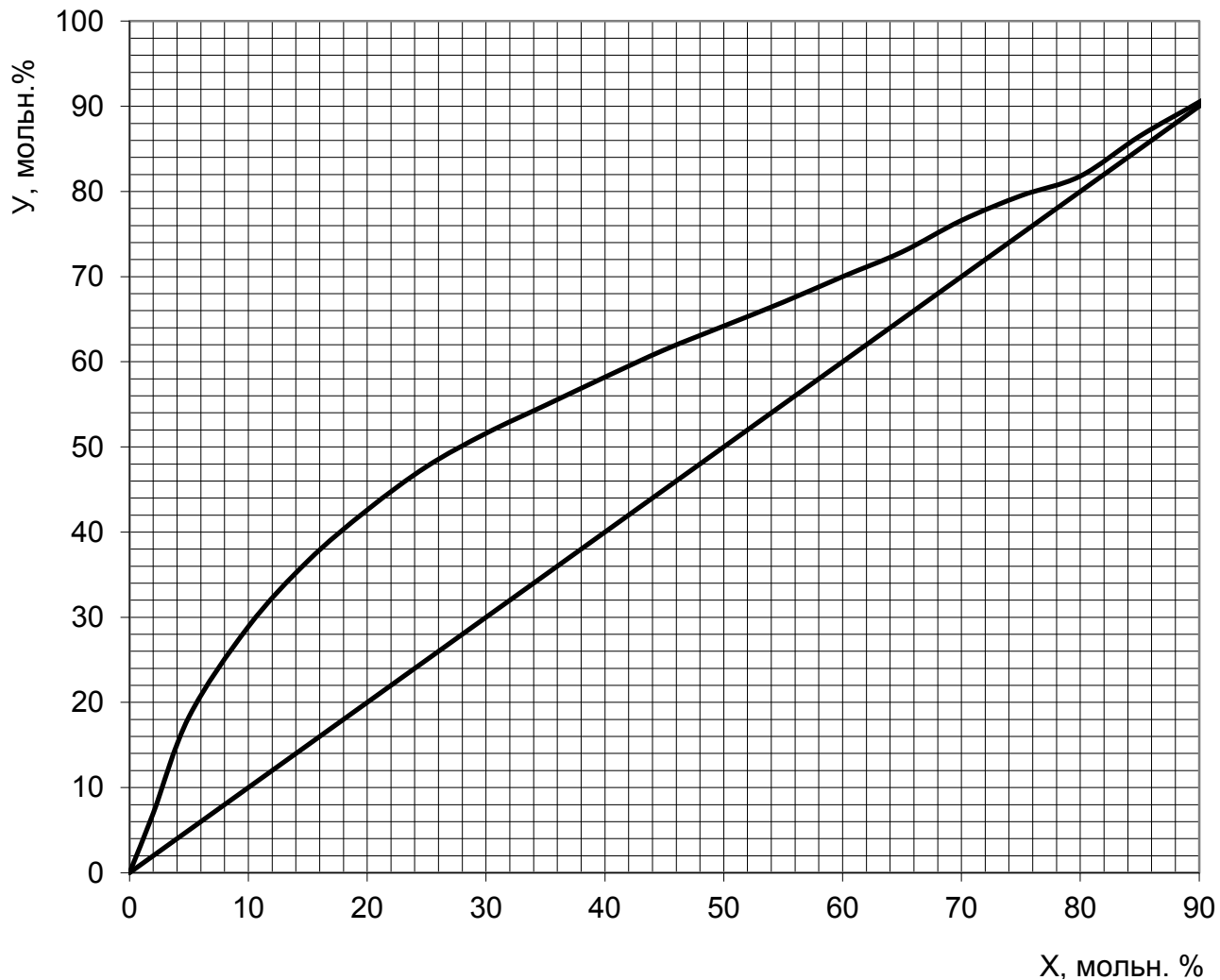


рис.

РАВНОВЕСИЕ МЕЖДУ ЖИДКОСТЬЮ И ПАРОМ В СИСТЕМЕ  
АЦЕТОН- МЕТИЛОВЫЙ СПИРТ (P=760 мм рт ст)

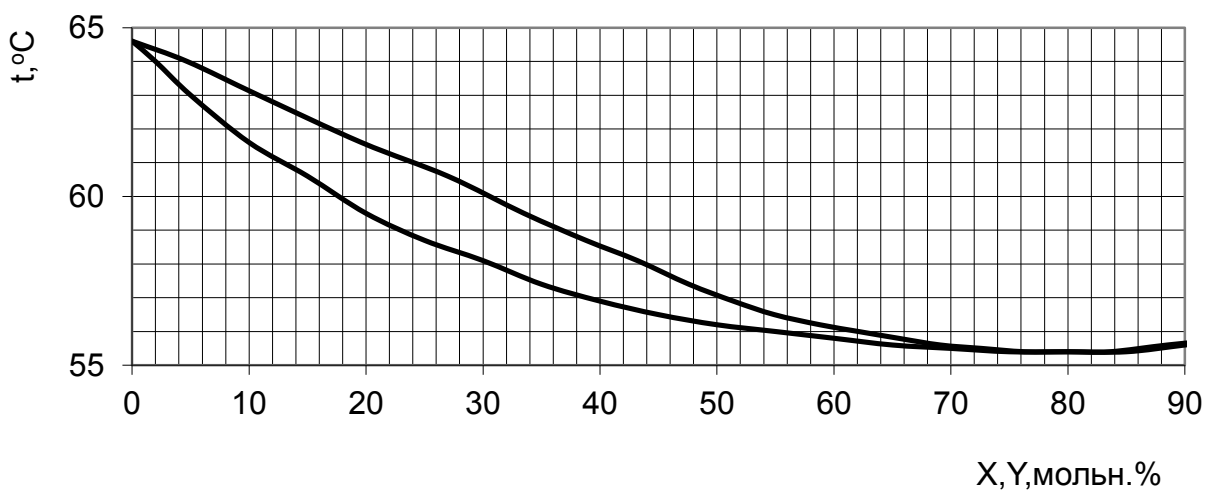
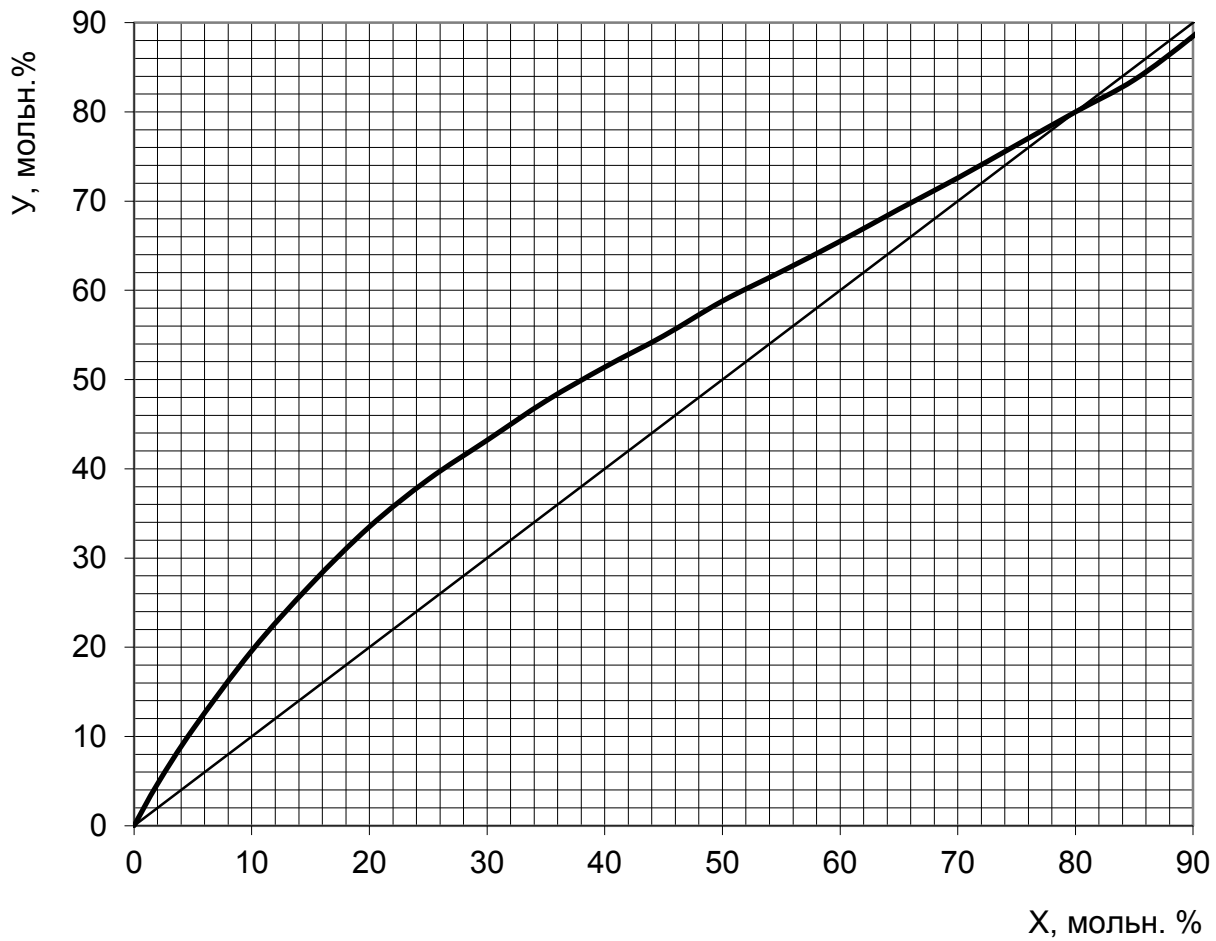


рис.

РАВНОВЕСИЕ МЕЖДУ ЖИДКОСТЬЮ И ПАРОМ В СИСТЕМЕ  
АЦЕТОН- ДИХЛОРЕТАН (P=760 мм рт ст)

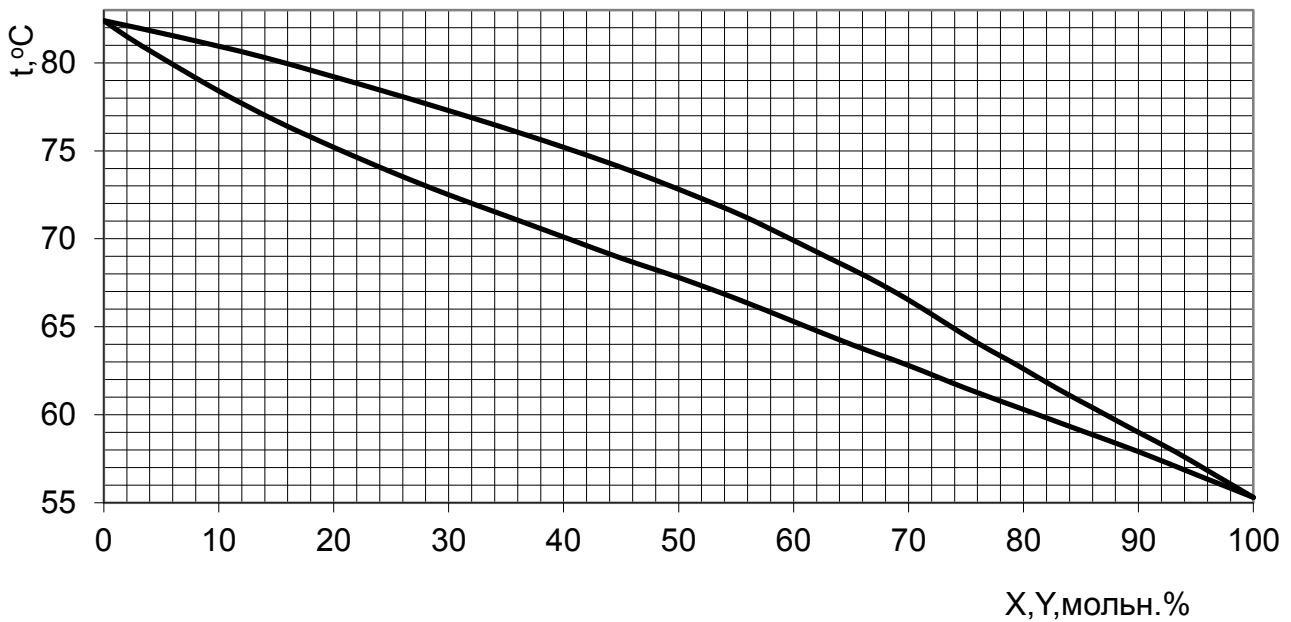
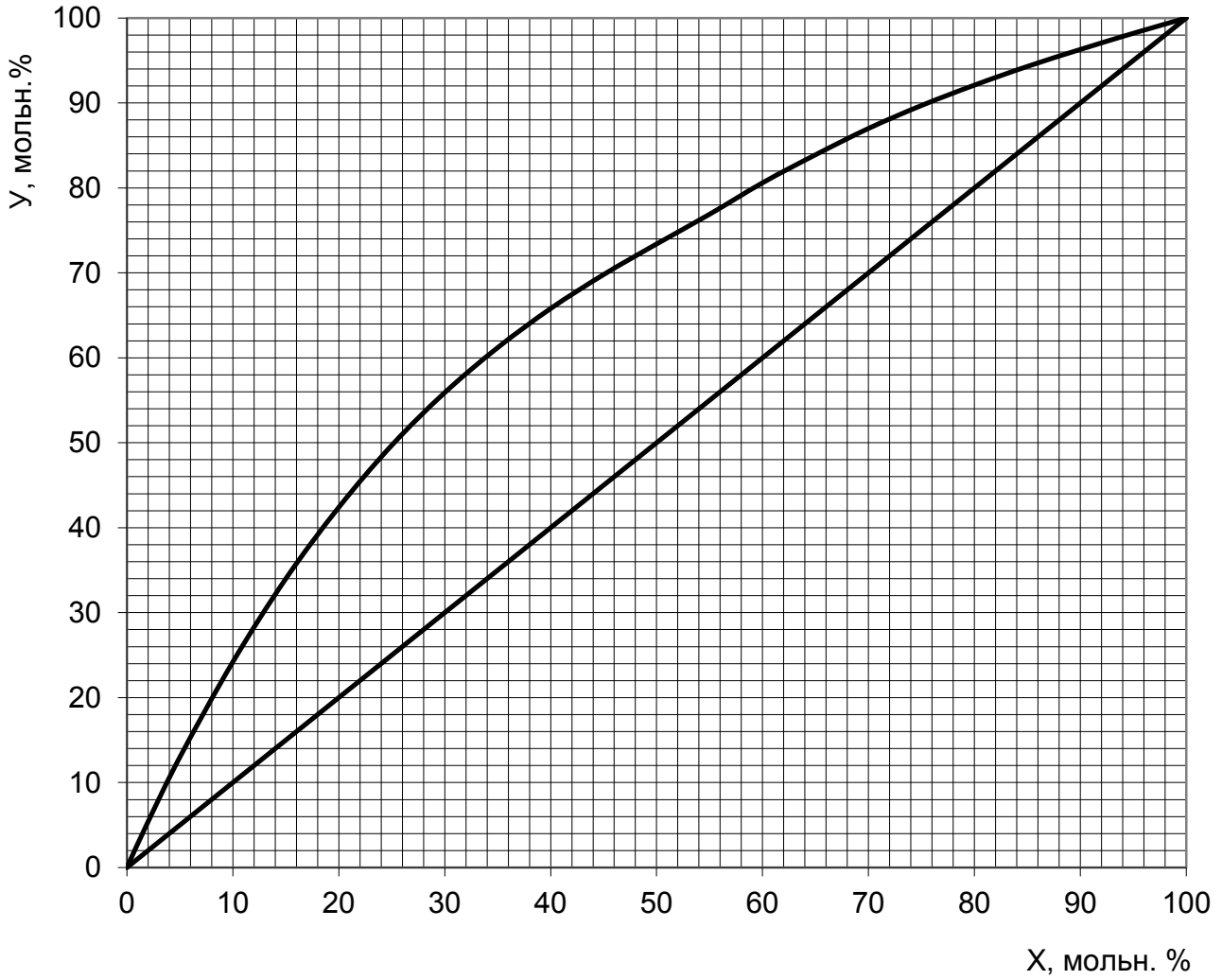
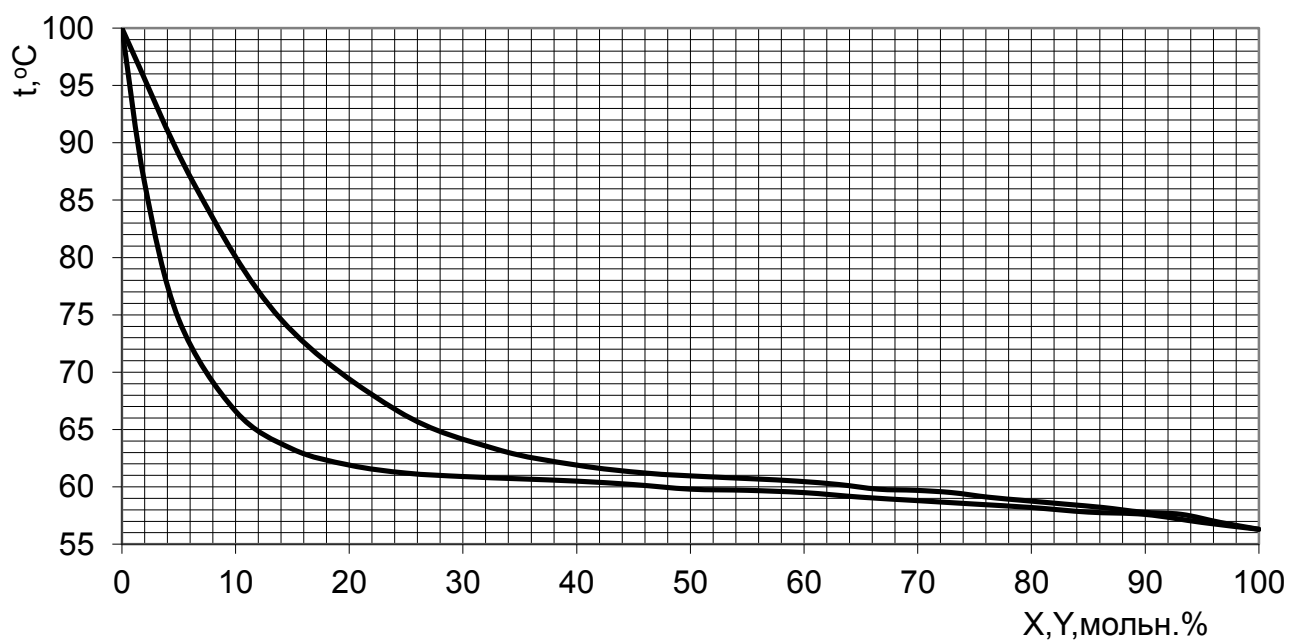
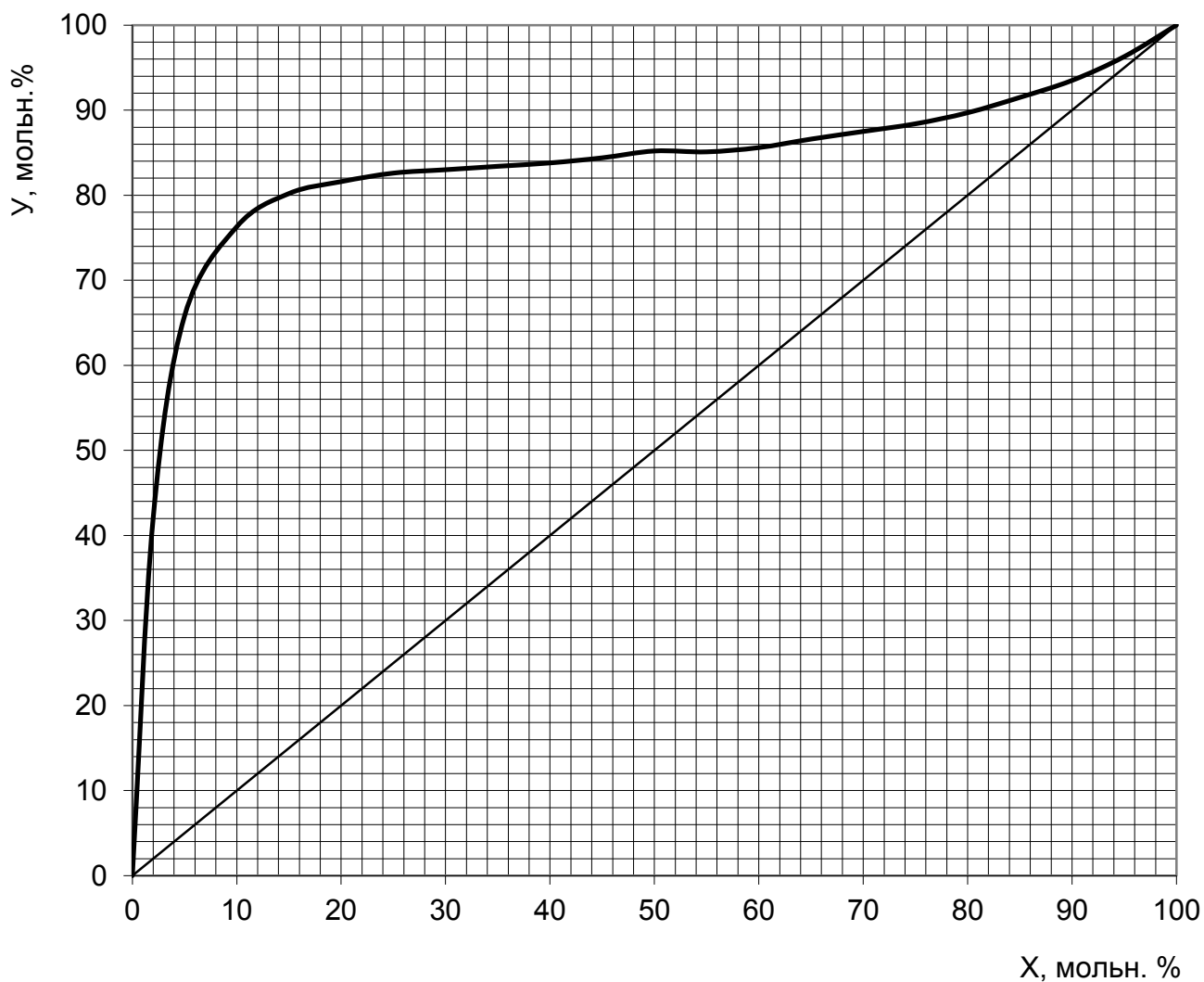
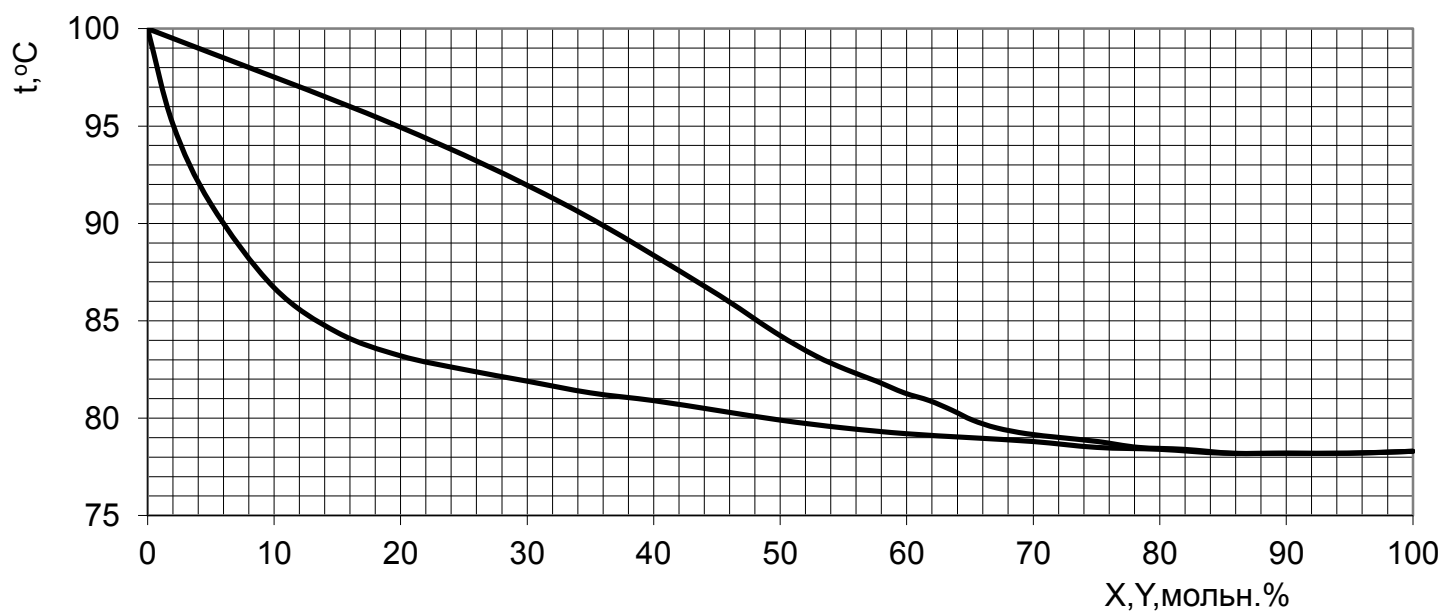
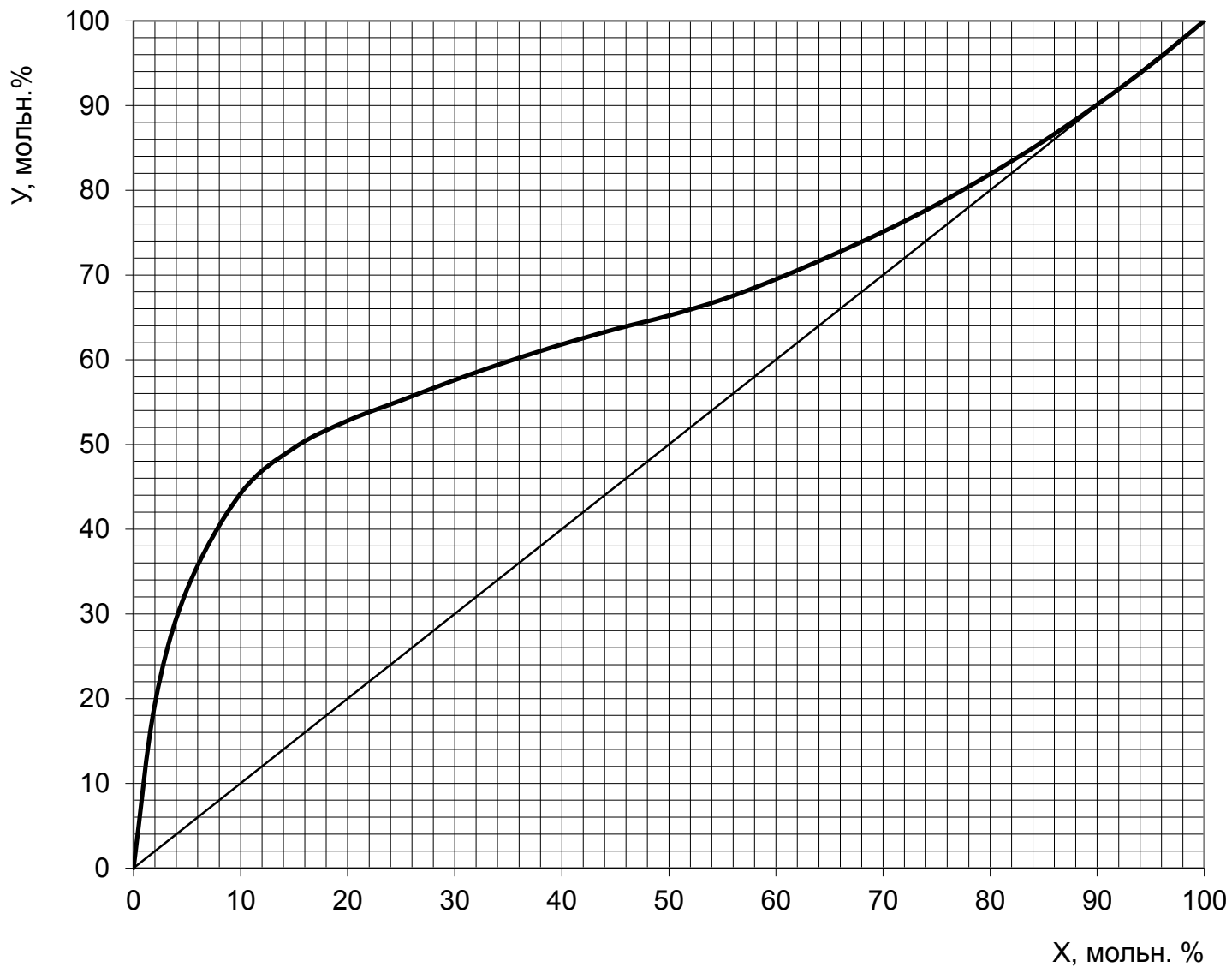


рис.

РАВНОВЕСИЕ МЕЖДУ ЖИДКОСТЬЮ И ПАРОМ В СИСТЕМЕ  
АЦЕТОН- ВОДА (P=760 мм рт ст)



РАВНОВЕСИЕ МЕЖДУ ЖИДКОСТЬЮ И ПАРОМ В СИСТЕМЕ  
ЭТИЛОВЫЙ СПИРТ-ВОДА (P=760 мм рт ст)



РАВНОВЕСИЕ МЕЖДУ ЖИДКОСТЬЮ И ПАРОМ В СИСТЕМЕ  
ЧЕТЫРЕХХЛОРИСТЫЙ УГЛЕРОД-ЭТАНОЛ (P=760 мм рт ст)

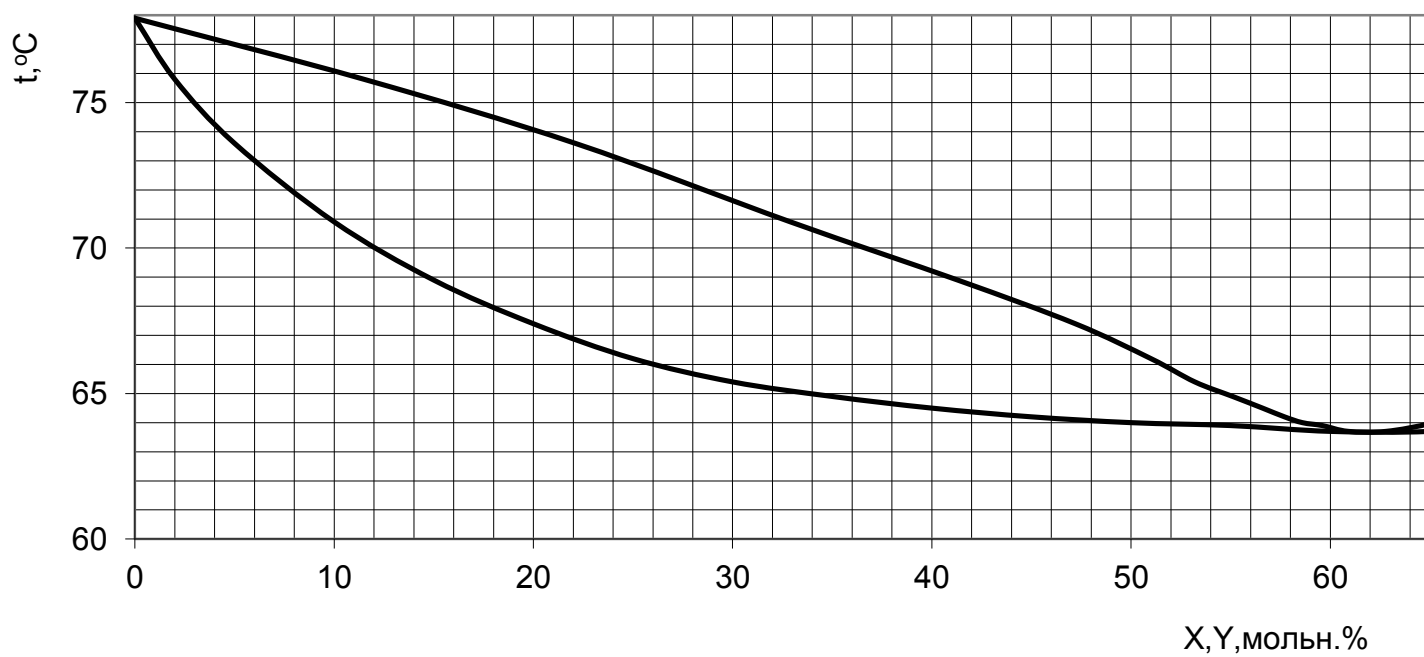
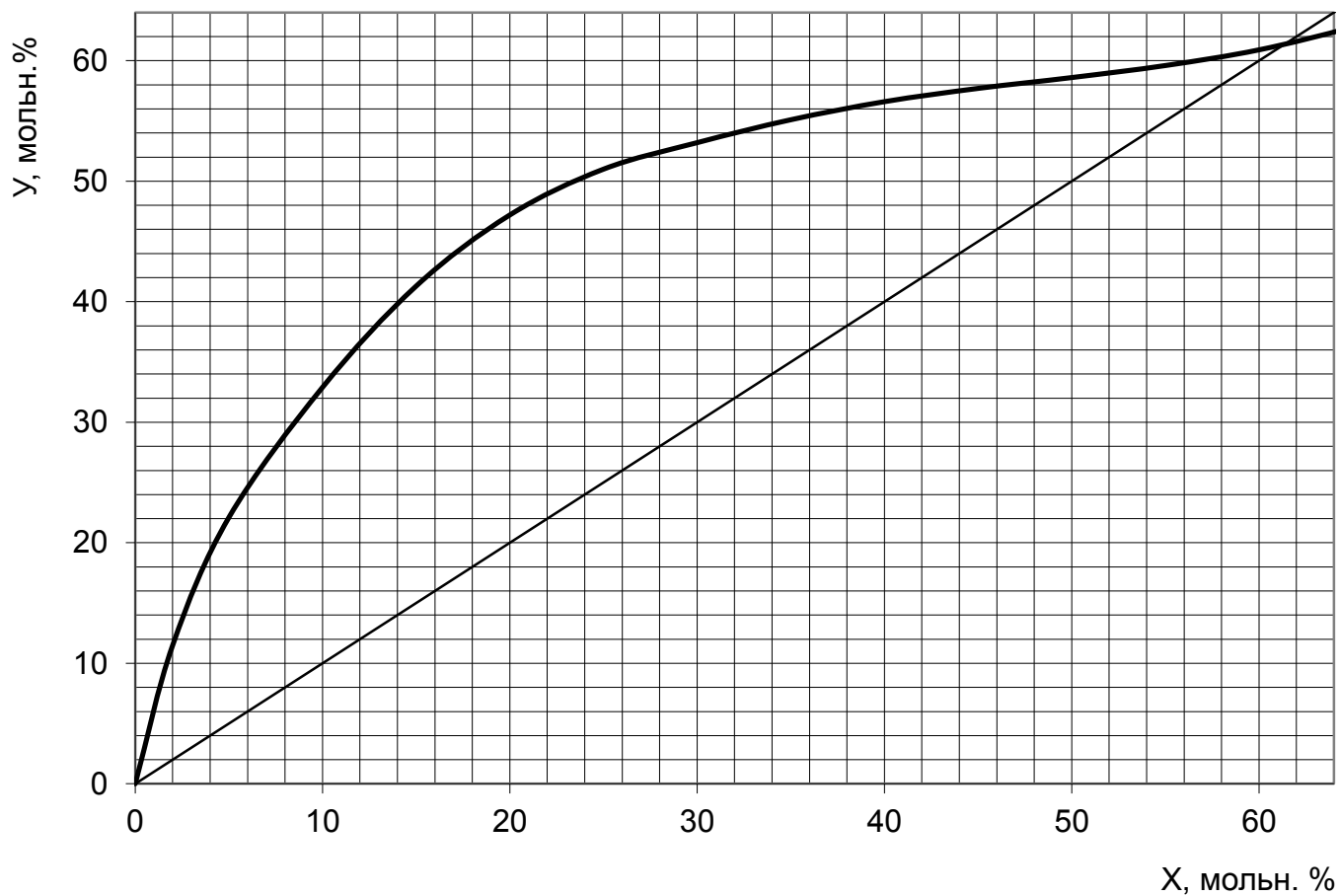


рис.





РАВНОВЕСИЕ МЕЖДУ ЖИДКОСТЬЮ И ПАРОМ В СИСТЕМЕ  
ЧЕТЫРЕХХЛОРИСТЫЙ УГЛЕРОД-БЕНЗОЛ (P=760 мм рт ст)

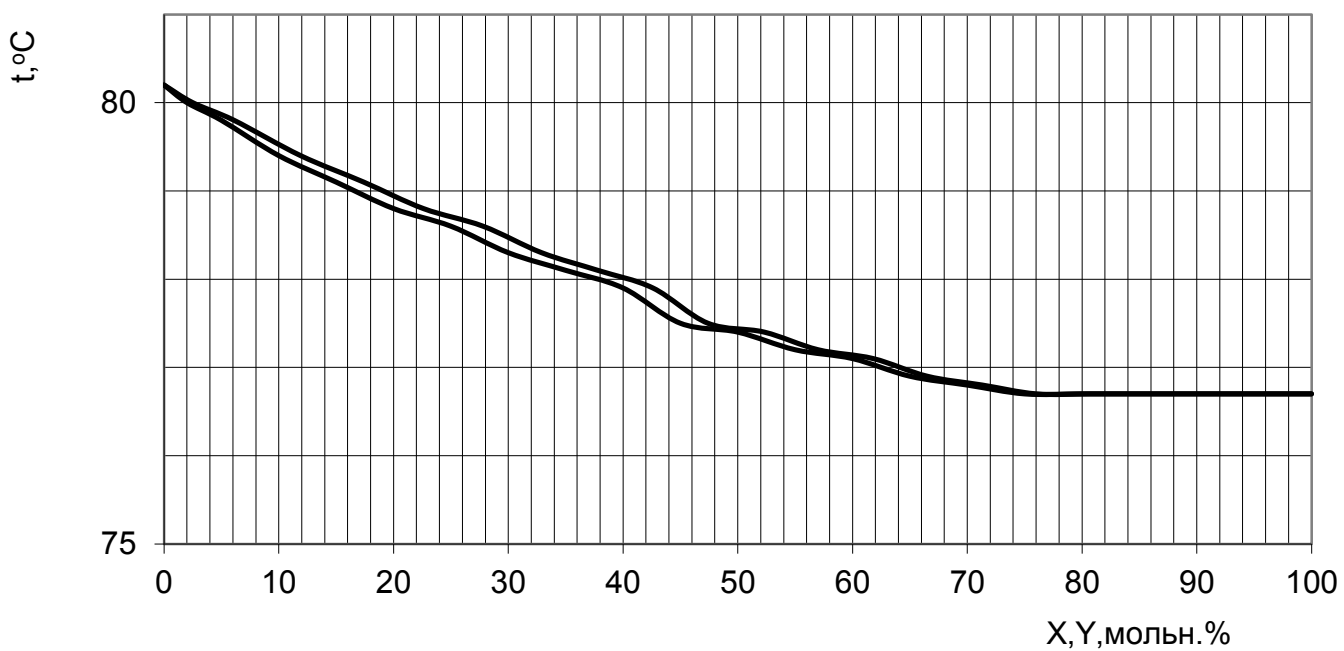
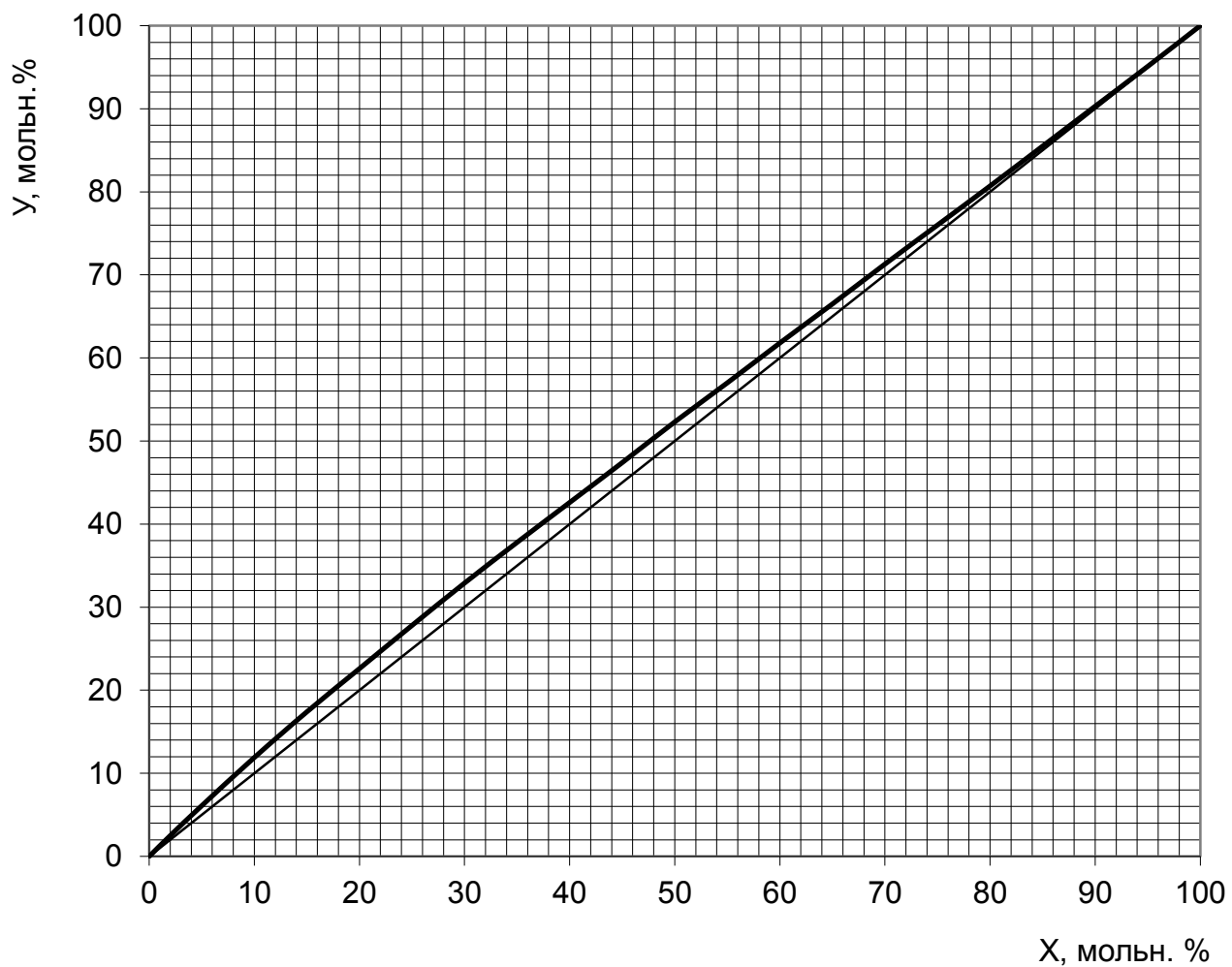


рис.

РАВНОВЕСИЕ МЕЖДУ ЖИДКОСТЬЮ И ПАРОМ В СИСТЕМЕ  
ХЛОРОФОРМ-ДИХЛОРЕТАН (P=760 мм рт ст)

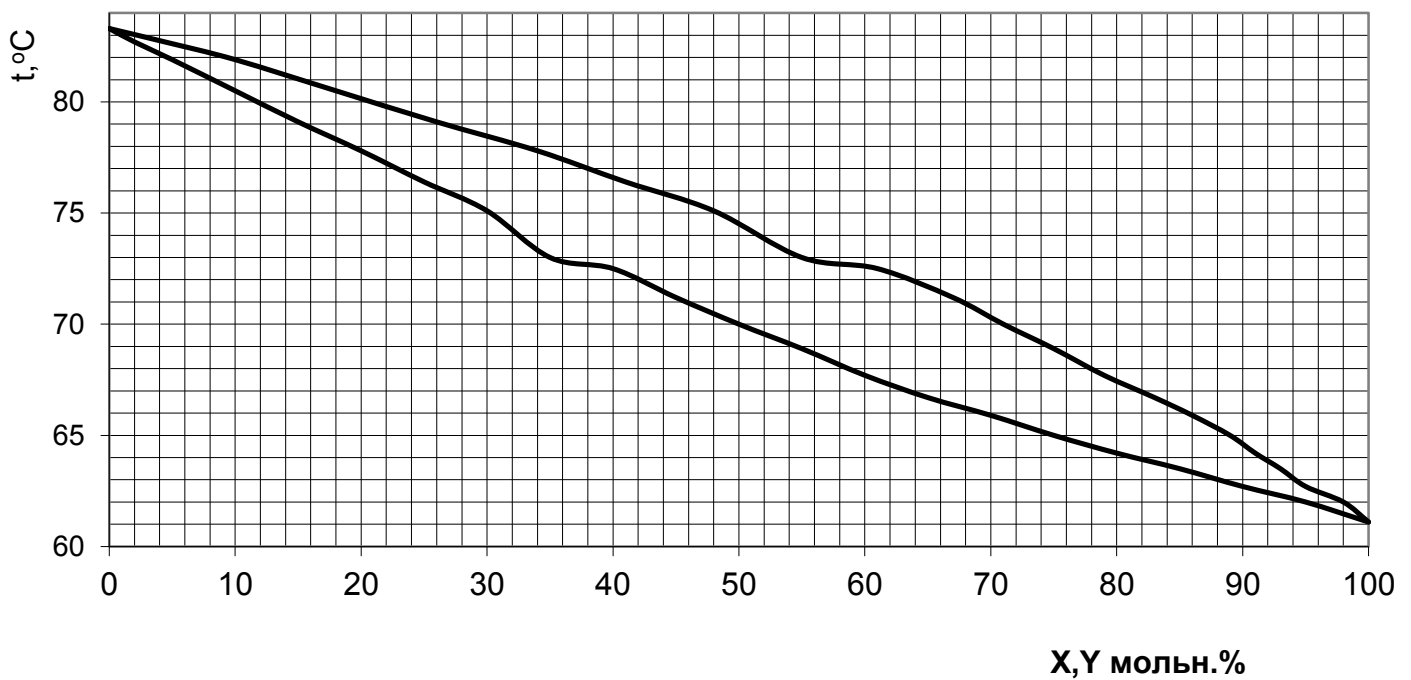
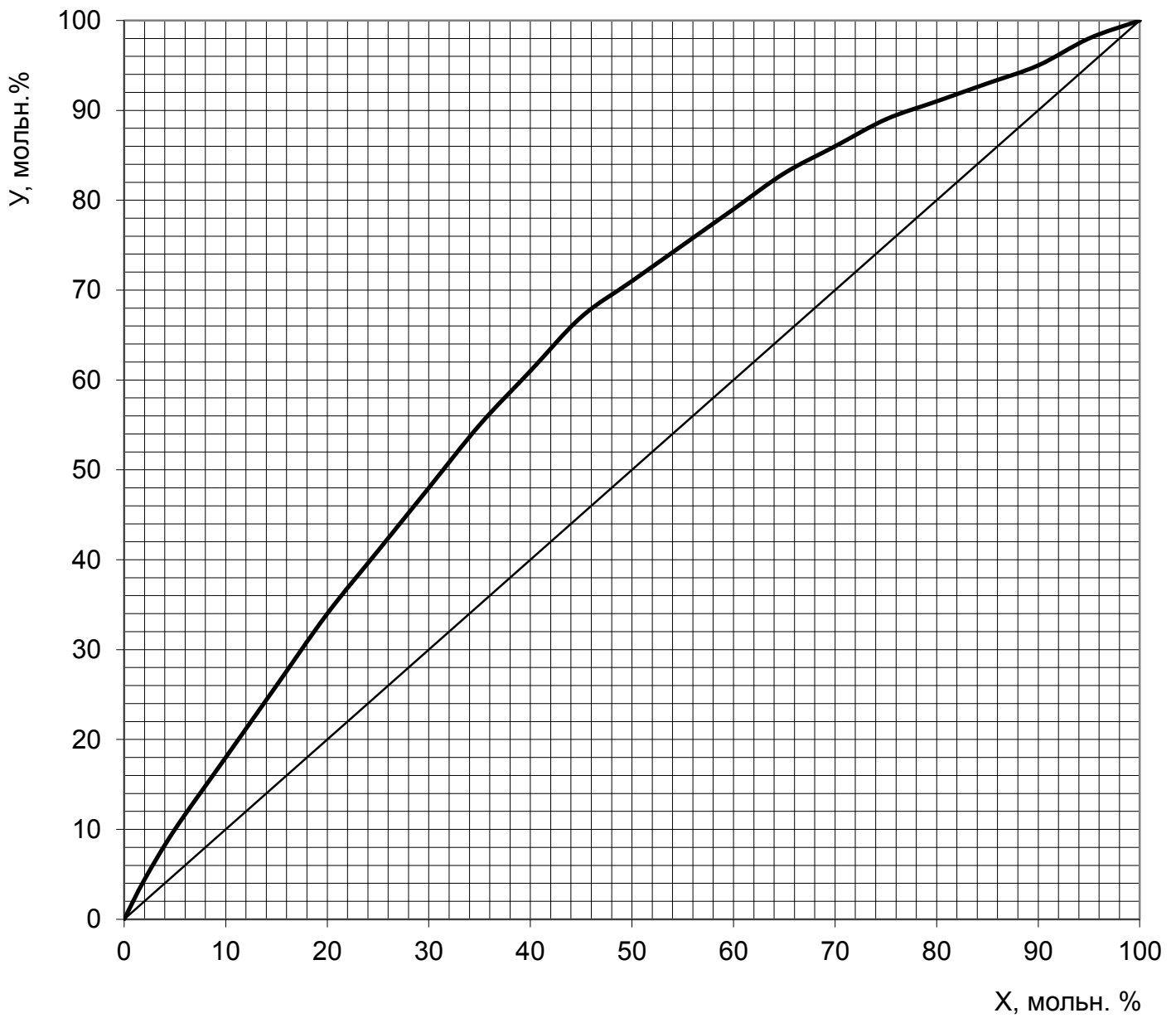


рис.

РАВНОВЕСИЕ МЕЖДУ ЖИДКОСТЬЮ И ПАРОМ В СИСТЕМЕ  
СЕРОУГЛЕРОД-ЧЕТЫРЕХХЛОРИСТЫЙ УГЛЕРОД (P=760 мм рт ст)

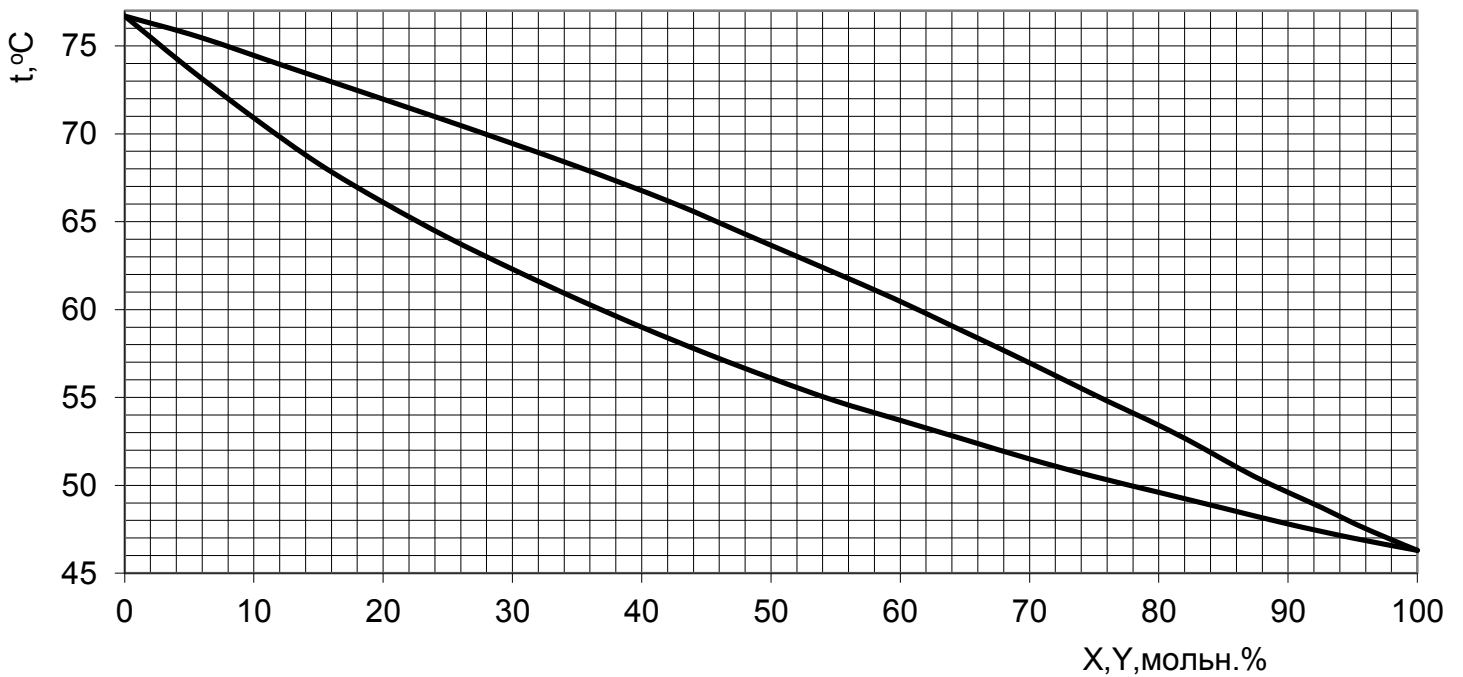
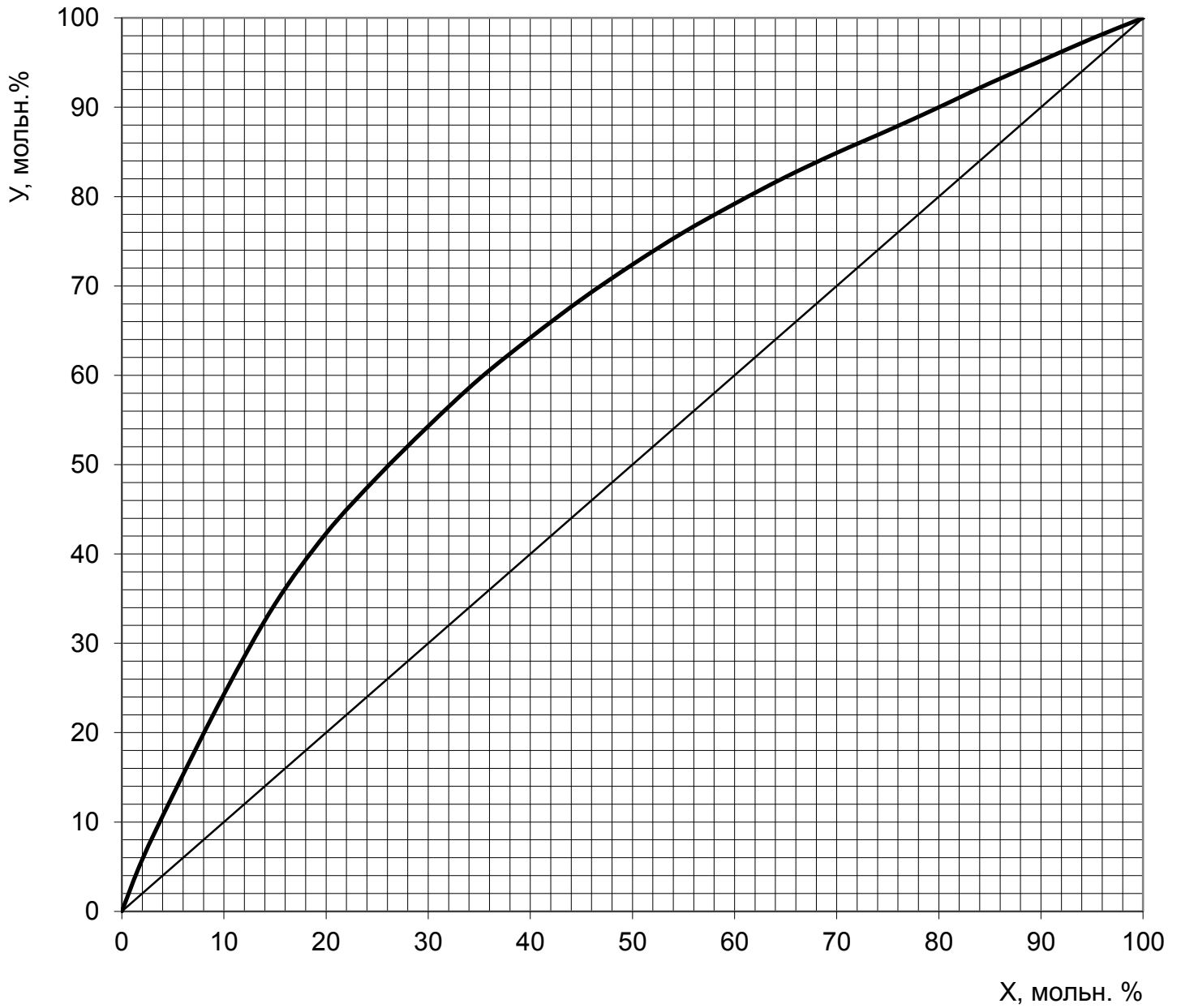


рис.



РАВНОВЕСИЕ МЕЖДУ ЖИДКОСТЬЮ И ПАРОМ В СИСТЕМЕ  
СЕРОУГЛЕРОД -АЦЕТОН (P=760 мм рт ст)

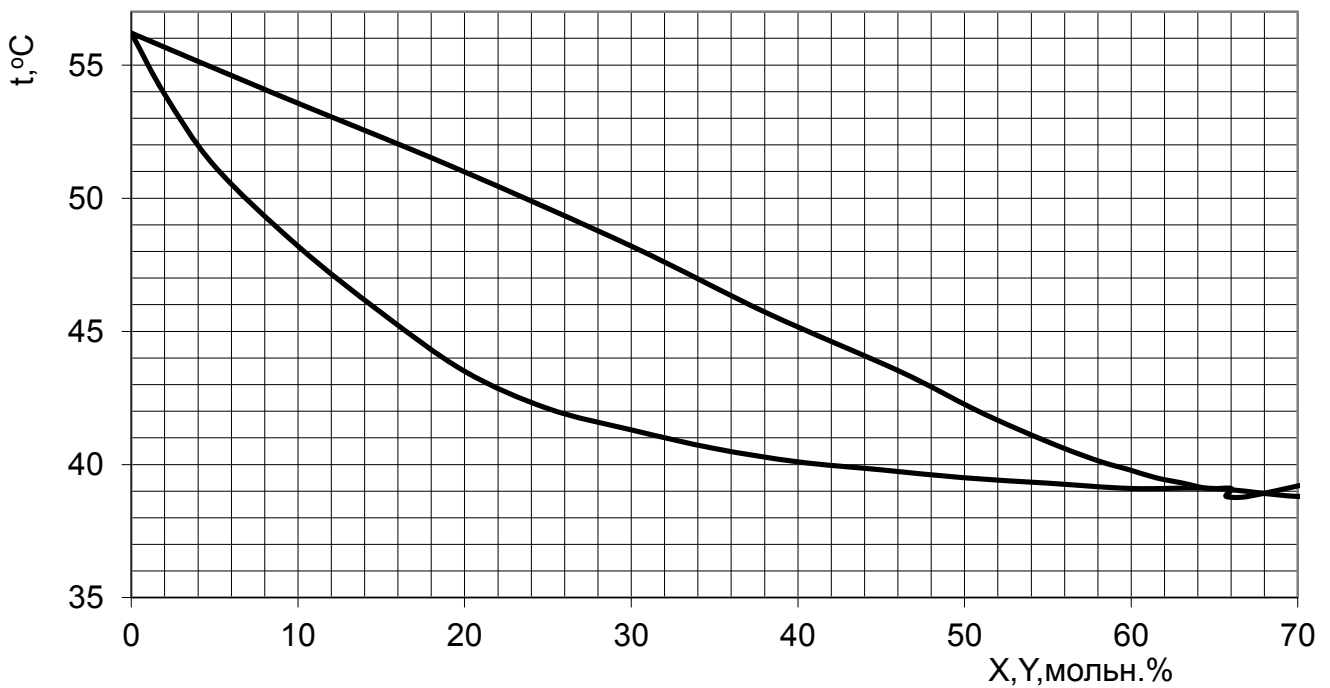
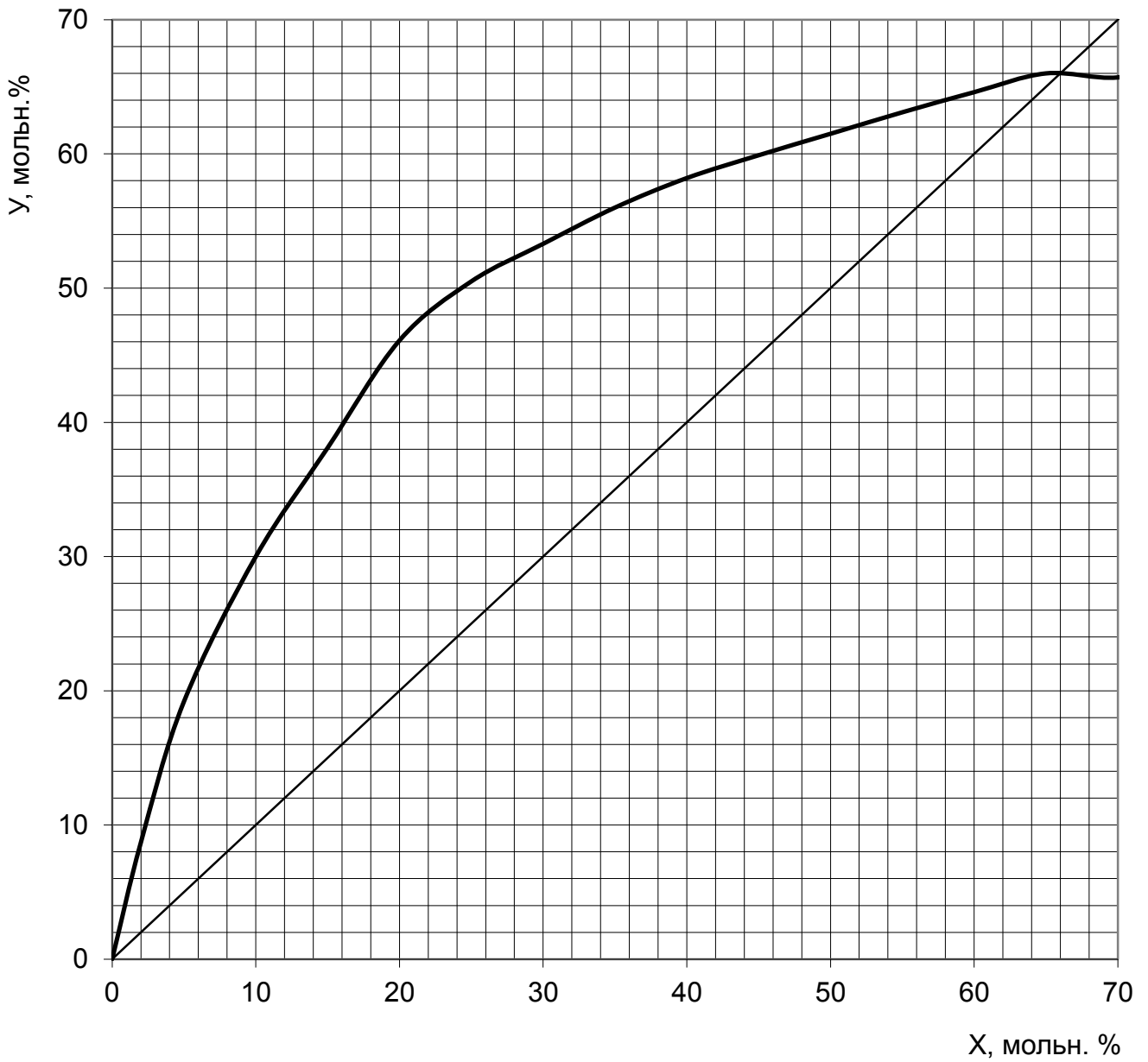
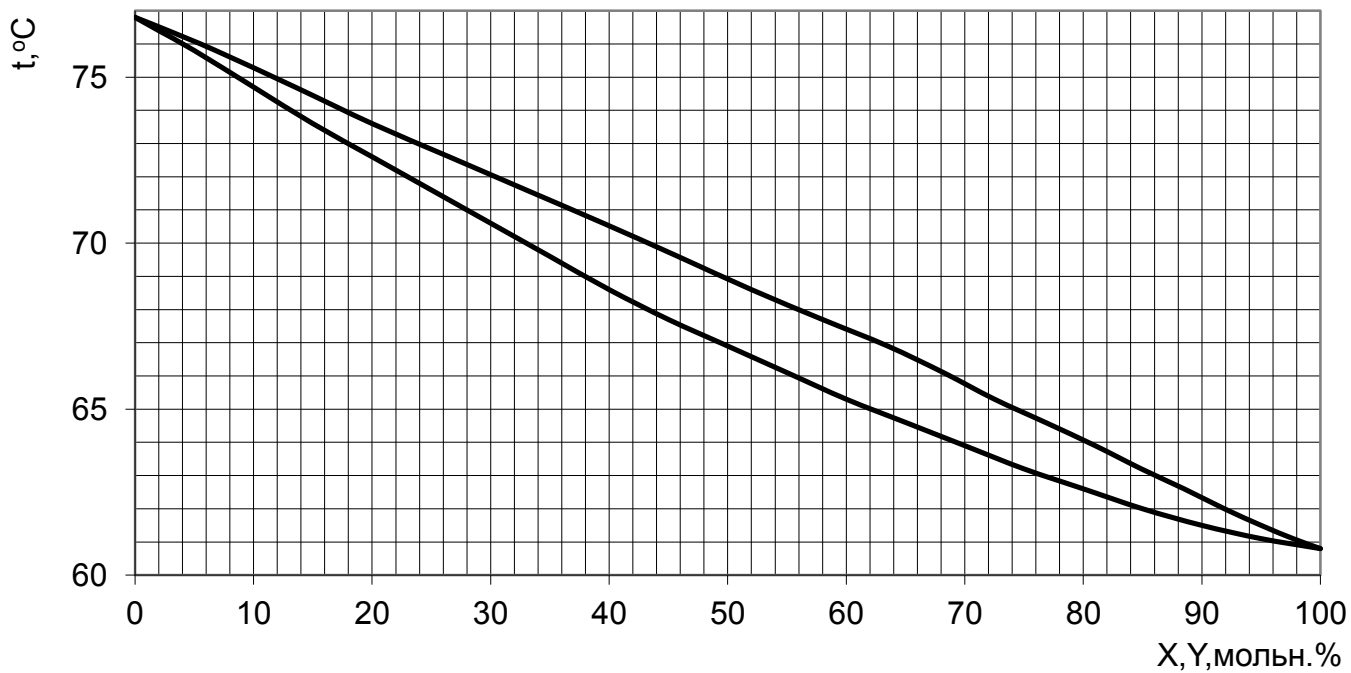
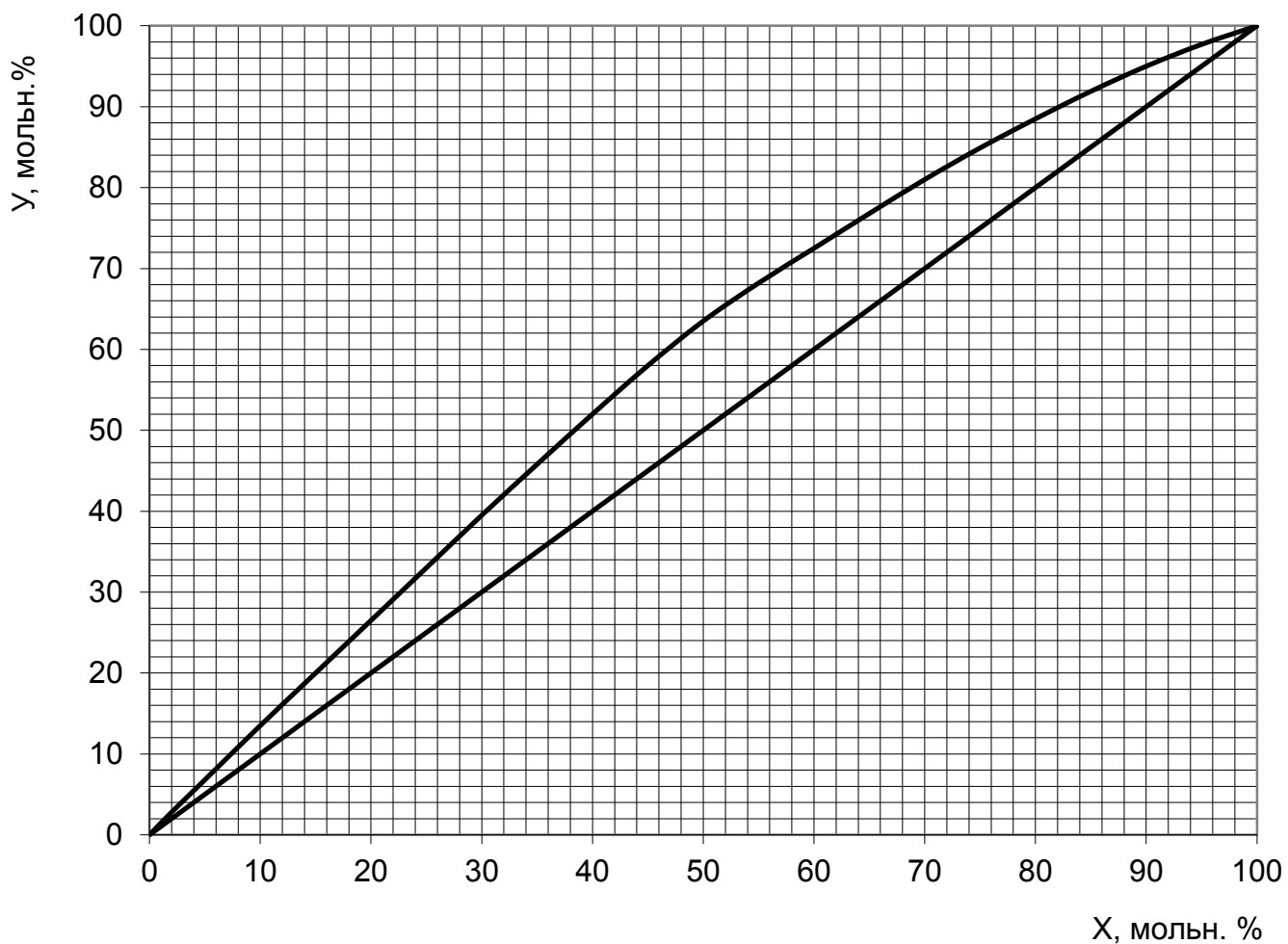


рис.

РАВНОВЕСИЕ МЕЖДУ ЖИДКОСТЬЮ И ПАРОМ В СИСТЕМЕ  
ХЛОРОФОРМ-ЧЕТЫРЕХХЛОРИСТЫЙ УГЛЕРОД (P=757 мм рт ст)



РАВНОВЕСИЕ МЕЖДУ ЖИДКОСТЬЮ И ПАРОМ В СИСТЕМЕ  
ХЛОРОФОРМ-МЕТИЛОВЫЙ СПИРТ (P=757 мм рт ст)

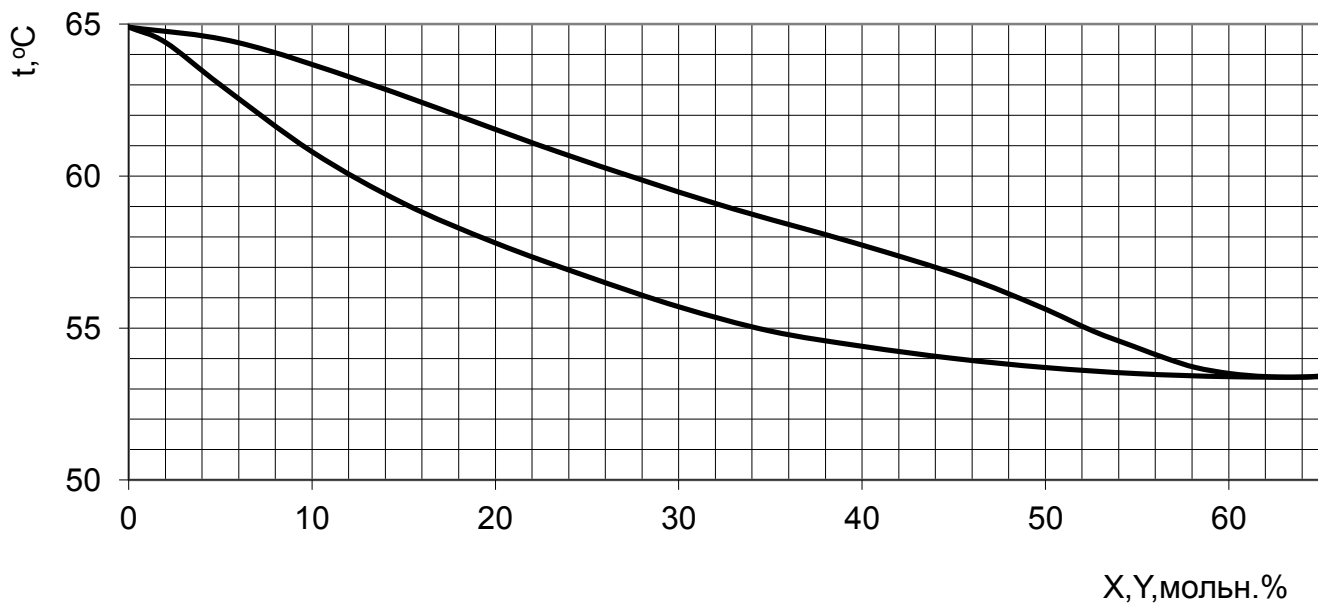
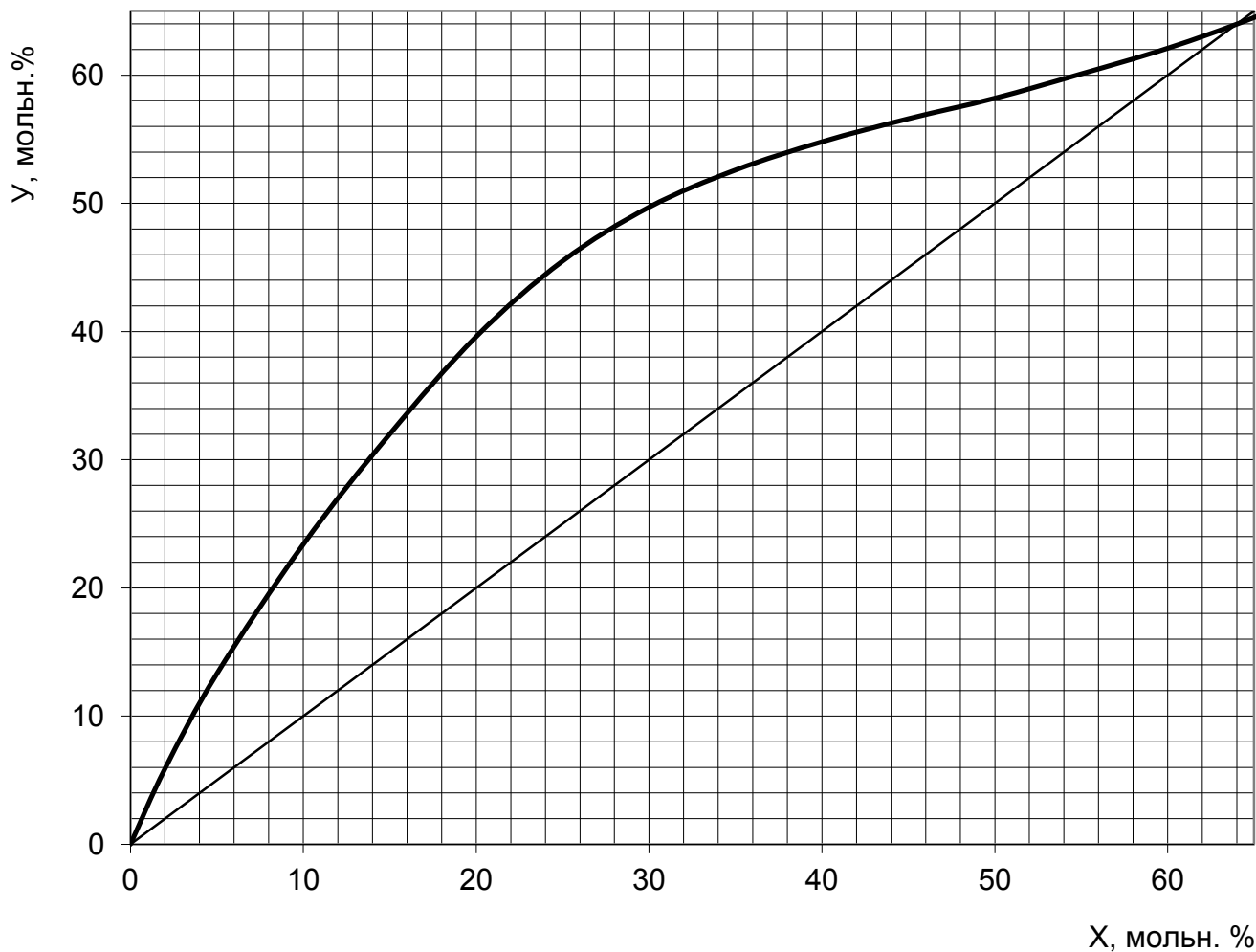


рис.



РАВНОВЕСИЕ МЕЖДУ ЖИДКОСТЬЮ И ПАРОМ В СИСТЕМЕ  
ХЛОРОФОРМ-БЕНЗОЛ (P=760 мм рт ст)

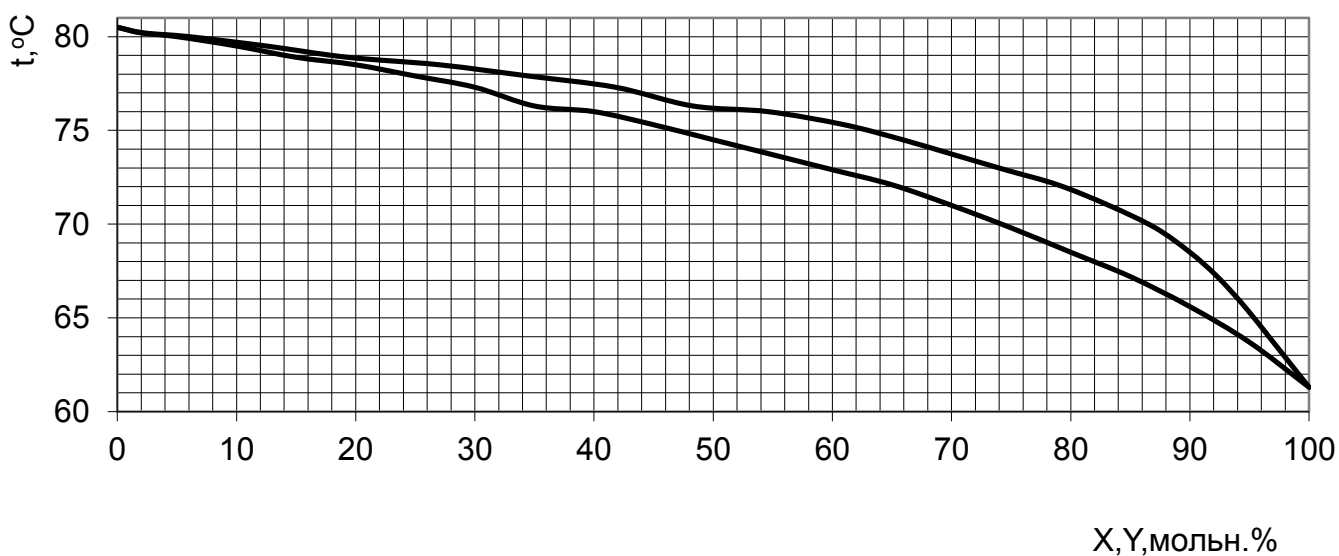
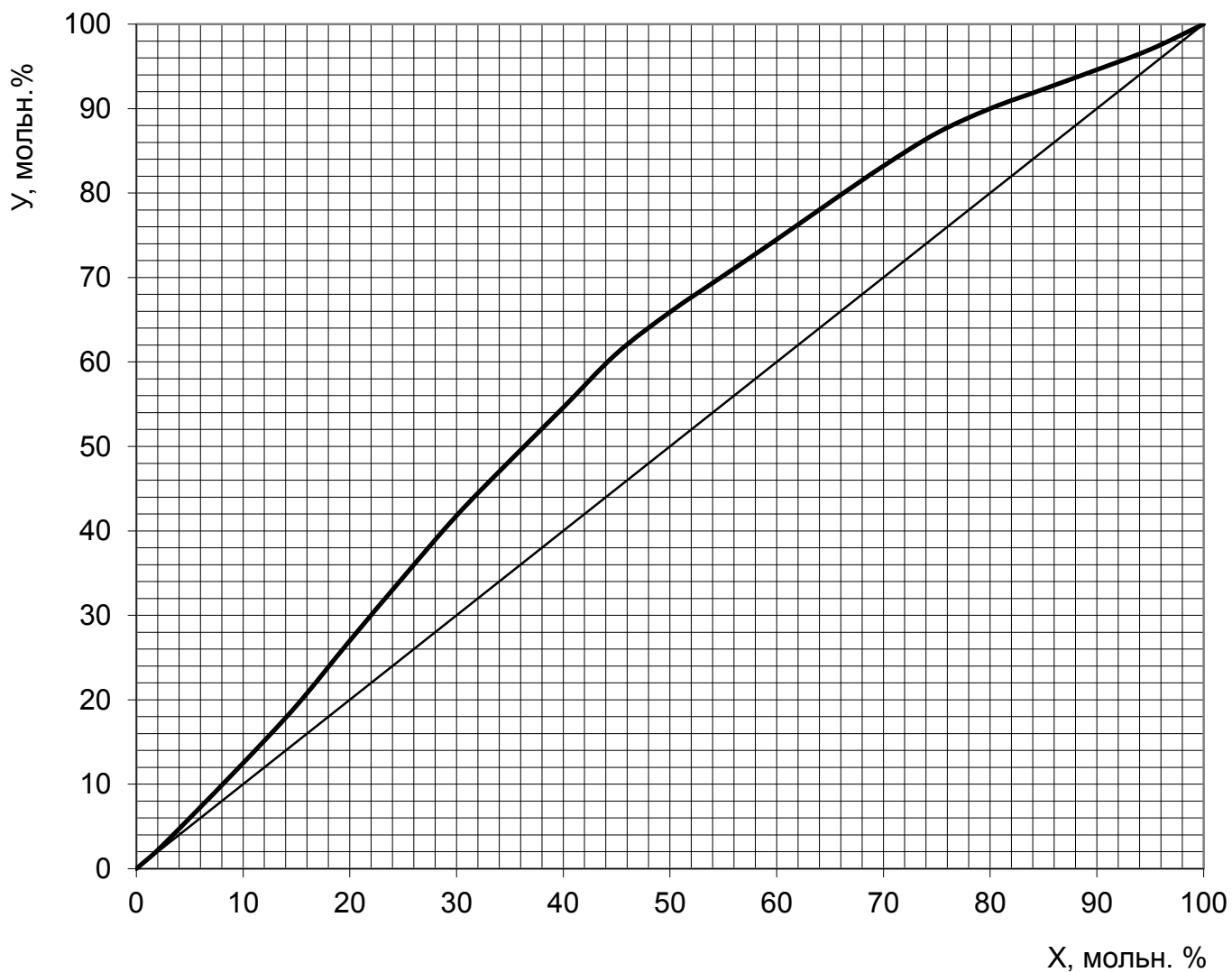


рис.

РАВНОВЕСИЕ МЕЖДУ ЖИДКОСТЬЮ И ПАРОМ В СИСТЕМЕ  
ТОЛУОЛ-УКСУСНАЯ КИСЛОТА (P=760 мм рт ст)

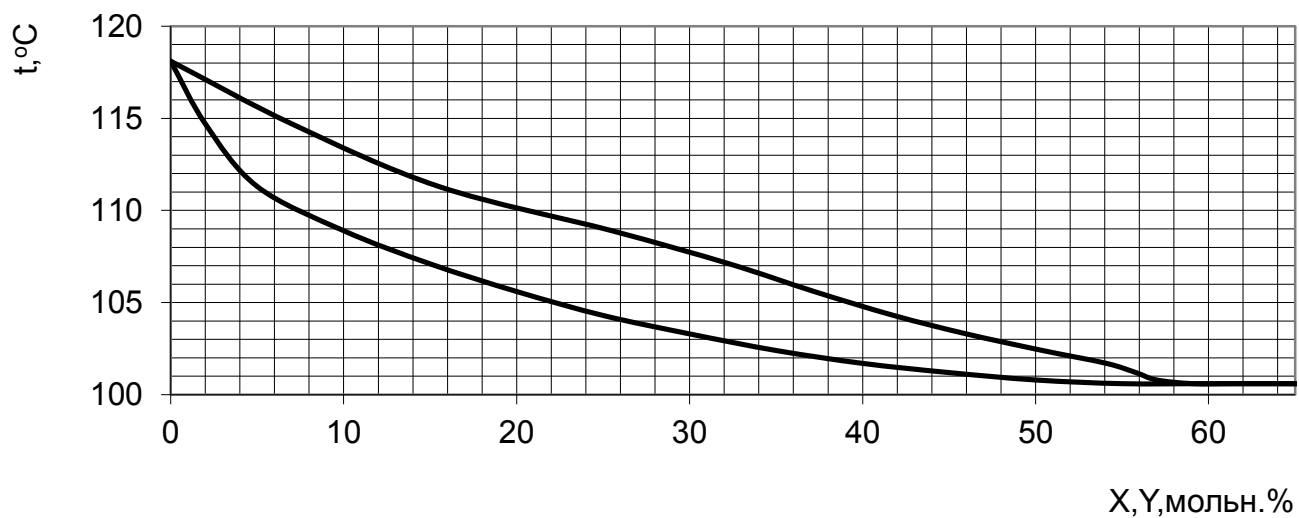
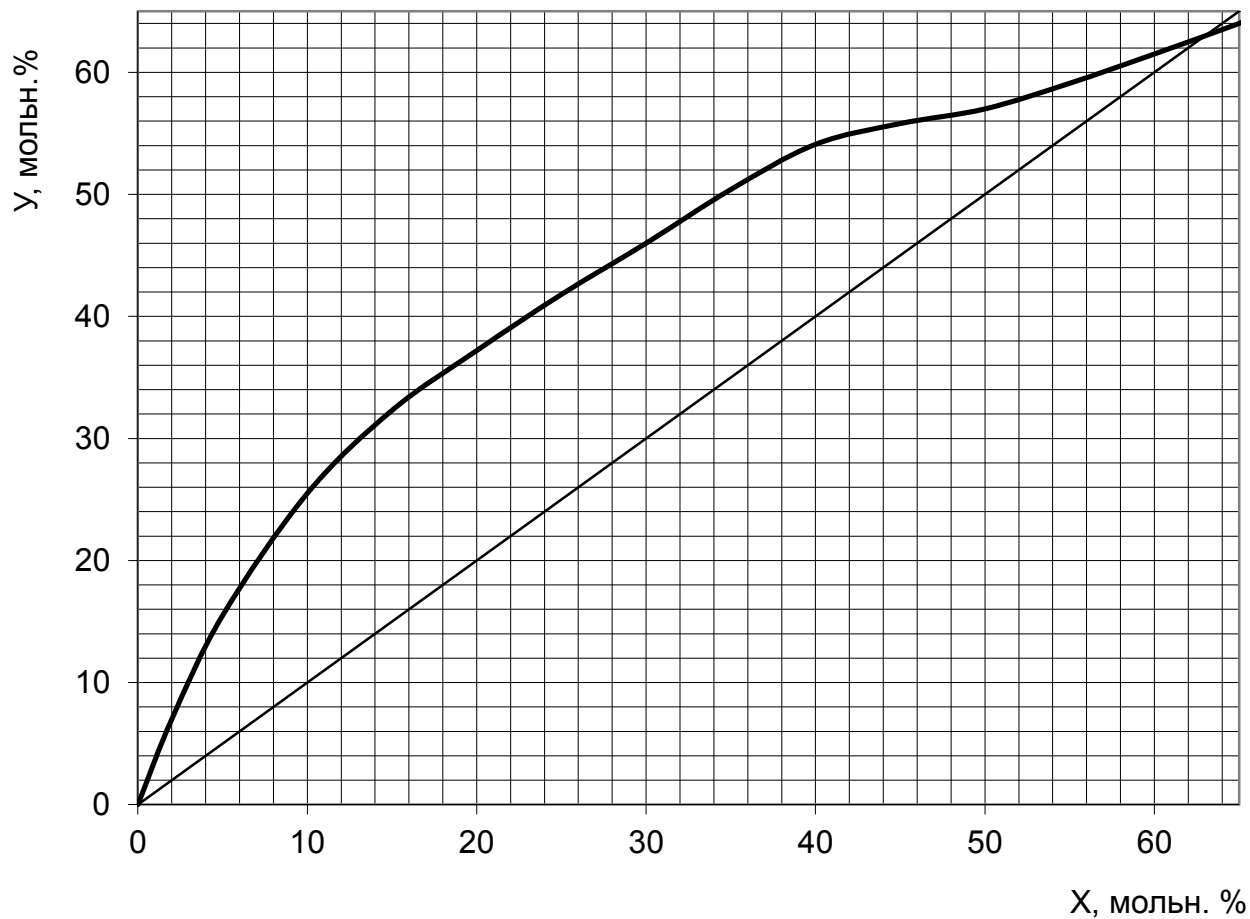


рис.

РАВНОВЕСИЕ МЕЖДУ ЖИДКОСТЬЮ И ПАРОМ В СИСТЕМЕ  
ПРОПИЛОВЫЙ СПИРТ-ВОДА (P=760 мм рт ст)

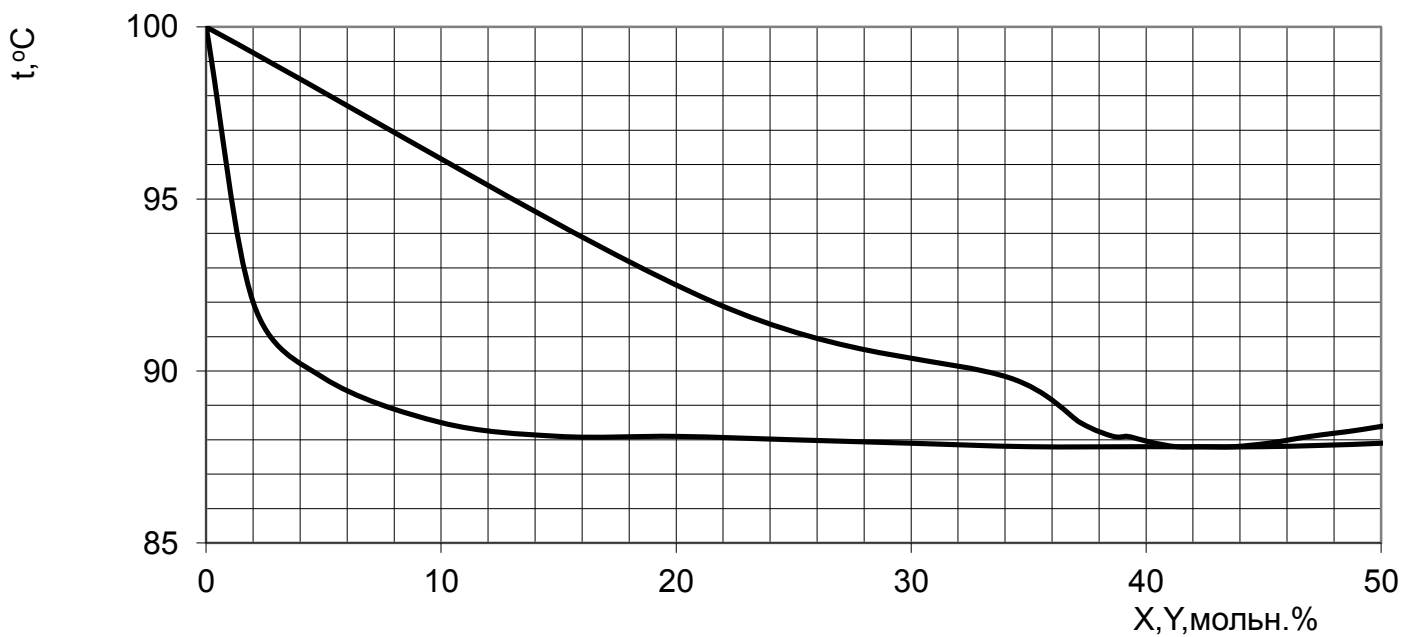
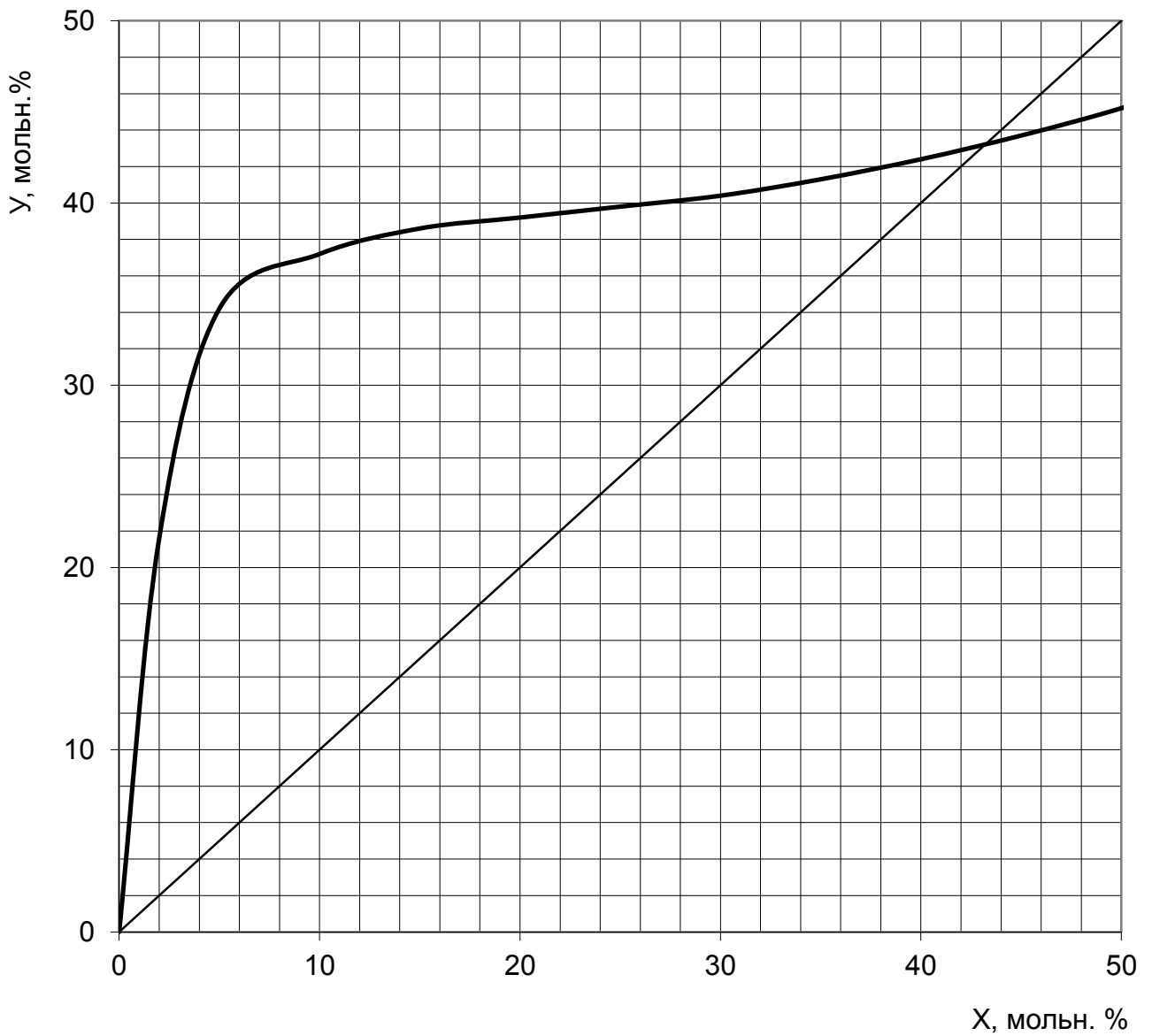


рис.